

## I N T R O D U Z I O N E

Nel 1927 Carathéodory introduce la pseudo-distanza di Carathéodory per domini di  $\mathbb{C}^2$ . Recentemente una nuova pseudo-distanza invariante è stata introdotta da Kobayashi su varietà complesse [4].

Entrambe queste pseudo-distanze possono definirsi anche per domini  $D$  di uno spazio vettoriale topologico complesso localmente convesso e di Hausdorff [14].

Nel Capitolo I, dopo aver esaminato il gruppo degli automorfismi olomorfi del disco unitario aperto  $\Delta$  e richiamata la metrica di Poincaré nel disco  $\Delta$  e nel semipiano superiore  $\pi^+$ , si introducono le pseudo-distanze invarianti di Carathéodory e di Kobayashi in un dominio  $D$ . Di queste pseudo-distanze invarianti si mettono in evidenza interessanti proprietà, e alcune loro suggestive applicazioni a questioni di analisi complessa e di analisi funzionale ([13], [14], [4]).

Sempre nel Capitolo I, si danno infine alcune notevoli proprietà delle metriche differenziali invarianti di Kobayashi e di Carathéodory [14].

Nel Capitolo II si definiscono delle distanze "tipo-kobayashi" e "tipo-Carathéodory" in un cono convesso aperto  $\Omega$  di uno spazio vettoriale reale localmente convesso di Hausdorff, con applicazioni al caso in cui  $\Omega$  è il cono convesso aperto degli elementi hermitiani strettamente positivi.

L'intento, nello scrivere questo quaderno, è quello di presentare in forma "semplice" gli argomenti suddetti evitando dimostrazioni che richiedono considerazioni delicate e limitandosi in tal caso soltanto a enunciati e a concetti fondamentali.

Desidero ringraziare il Prof. E. Vesentini per gli utili suggerimenti ricevuti durante la compilazione di queste note.

## I N D I C E

Abstract .....	i
Prefazione .....	ii
Introduzione .....	iii

## CAPITOLO I - DISTANZE INVARIANTI E METRICHE DIFFERENZIALI INVARIANTI.

§ 1.1. <i>Il gruppo degli automorfismi olomorfi del disco</i> .....	pag. 1
§ 1.2. <i>Metrica di Poincaré nel disco</i> .....	" 4
§ 1.3. <i>Metrica di Poincaré nel semipiano</i> .....	" 9
§ 1.4. <i>Pseudo distanze di Kobayashi e di Carathéodory</i> .....	" 12
§ 1.5. <i>Applicazioni</i> .....	" 29
§ 1.6. <i>Metriche differenziali di Kobayashi e di Carathéodory</i> .."	31
§ 1.7. <i>Metriche interne</i> .....	" 41

## CAPITOLO II - DISTANZE INVARIANTI NEI CONI CONVESSI.

§ 2.1. <i>Distanze "tipo-Kobayashi e "tipo-Carathéodory"</i> .....	" 46
§ 2.2. <i>Applicazioni</i> .....	" 54
BIBLIOGRAFIA .....	" 60

C A P I T O L O I

DISTANZE INVARIANTI E METRICHE DIFFERENZIALI INVARIANTI.

§ 1.1. IL GRUPPO DEGLI AUTOMORFISMI OLOMORFI DEL DISCO.

Sia  $\Delta$  il disco aperto unitario di  $\mathbb{C}$ ,  $\Delta = \{\xi \in \mathbb{C} : |\xi| < 1\}$ ,  
e  $\text{Hol}(\Delta, \Delta)$  l'insieme delle applicazioni oloomorfe di  $\Delta$  in sé.

LEMMA DI SCHWARZ - Sia  $f \in \text{Hol}(\Delta, \Delta)$  con  $f(0) = 0$ , allora:

1)  $|f(\xi)| \leq |\xi|$  per ogni  $\xi \in \Delta$ , se vale il segno di uguaglianza  
per uno  $\xi_0 \in \Delta \setminus \{0\}$   $f$  è una rotazione, cioè esiste un  $\theta \in \mathbb{R}$  ta  
le che  $f(\xi) = e^{i\theta} \xi$  per ogni  $\xi \in \Delta$

2)  $|f'(0)| \leq 1$ , se vale il segno di uguaglianza  $f$  è una rotazio  
ne.

Dimostrazione - La funzione  $g : \xi \mapsto \frac{f(\xi)}{\xi}$  è oloomorfa in  $\Delta$ .  
Per  $0 < r < 1$  e  $|\xi| = r$ , è  $|g(\xi)| \leq \frac{1}{r}$ . Per il principio del  
massimo risulta allora

$$|g(\xi)| \leq \frac{1}{r} \quad \text{per ogni } |\xi| \leq r.$$

Facendo tendere  $r$  a 1 si ottiene

$$|g(\xi)| \leq 1 \quad \text{per ogni } \xi \in \Delta, \quad (1.1.1)$$

la prima parte di 1).

Se  $|f(\xi_0)| = |\xi_0|$ , la funzione  $|g|$  raggiunge il suo massimo, 1,  
in  $\Delta$ , e quindi esiste un  $\theta \in \mathbb{R}$  tale che  $f(\xi) = e^{i\theta} \xi$  per ogni  
 $\xi \in \Delta$ .

Poiché  $g(0) = f'(0)$ , 2) segue dalla (1.1.1) e dal principio del

massimo.

C.V.D.

Sia Aut( $\Delta$ ) il gruppo degli automorfismi olomorfi di  $\Delta$  cioè

$$\text{Aut}(\Delta) = \{f : \Delta \rightarrow \Delta \text{ biolomorfe}\} .$$

Il lemma di Schwarz permette di determinare il gruppo  $\text{Aut}(\Delta)$ .

Per  $\xi_0 \in \Delta$  e  $\theta \in \mathbb{R}$ , la funzione

$$h : \xi \mapsto e^{i\theta} \frac{\xi - \xi_0}{1 - \bar{\xi}_0 \xi}$$

è olomorfa su  $\Delta$ . Poiché

$$1 - |h(\xi)|^2 = \frac{(1 - |\xi_0|^2)(1 - |\xi|^2)}{|1 - \bar{\xi}_0 \xi|^2} > 0 \quad \text{per } \xi \in \Delta ,$$

$h(\Delta) \subset \Delta$ . Le funzioni  $h$  si chiamano trasformazioni di Moebius.

Sia  $G$  l'insieme delle trasformazioni di Moebius. Poiché

$h(0) = -e^{i\theta} \xi_0$ ,  $G$  opera transitivamente su  $\Delta$ .

Inoltre, posto

$$K(\xi) = e^{-i\theta} \frac{\xi + e^{i\theta} \xi_0}{1 + e^{i\theta} \bar{\xi}_0 \xi}$$

risulta  $h \circ k = k \circ h = \text{id}$ . Dunque le trasformazioni di Moebius sono automorfismi olomorfi e l'inversa di una trasformazione di Moebius è ancora di Moebius.

Se  $f \in \text{Aut } \Delta$  è tale che  $f(0) = 0$ , dal lemma di Schwarz segue che esiste  $\theta \in \mathbb{R}$  tale che

$$f(\xi) = e^{i\theta} \xi \quad (\xi \in \Delta) .$$

Dato  $g \in \text{Aut } \Delta$ , esiste una  $h \in G$ , tale che  $h(0) = g(0)$ ; pertanto  $h^{-1} \circ g(0) = 0$ , e quindi  $h^{-1} \circ g(\xi) = e^{i\theta} \xi$  per un opportuno  $\theta \in \mathbb{R}$  ed ogni  $\xi \in \Delta$ . Ne segue che  $g = h e^{i\theta}$  ed in conclusione risulta  $\text{Aut}(\Delta) = G$ .

OSSERVAZIONE 1. Come abbiamo già notato, il gruppo  $G$  opera transitivamente su  $\Delta$ , e quindi  $\Delta$  è omogeneo rispetto a  $G$ .

Esaminiamo il gruppo  $\text{Aut}(\Delta)$  da un altro punto di vista. Consideriamo il gruppo

$$SU(1,1) = \left\{ \begin{pmatrix} a & b \\ c & d \end{pmatrix} : a, b, c, d \in \mathbb{C}, \begin{matrix} {}^t \overline{\begin{pmatrix} a & b \\ c & d \end{pmatrix}} \begin{pmatrix} 1 & 0 \\ 0 & -1 \end{pmatrix} \begin{pmatrix} a & b \\ c & d \end{pmatrix} = \begin{pmatrix} 1 & 0 \\ 0 & -1 \end{pmatrix} \end{matrix} \right\},$$

$$\det \begin{pmatrix} a & b \\ c & d \end{pmatrix} = 1 \Big\} = \left\{ \begin{pmatrix} a & b \\ \bar{b} & \bar{a} \end{pmatrix} : a, b \in \mathbb{C}, |a|^2 - |b|^2 = 1 \right\},$$

e definiamo un omomorfismo surgettivo

$$\phi : SU(1,1) \longrightarrow \text{Aut}(\Delta) \quad \text{associando a}$$

$$\begin{pmatrix} a & b \\ \bar{b} & \bar{a} \end{pmatrix} \in SU(1,1) \quad \text{l'applicazione} \quad g : \xi \longmapsto \frac{a\xi + b}{\bar{b}\xi + \bar{a}}.$$

Per rendersi conto che per  $\begin{pmatrix} a & b \\ \bar{b} & \bar{a} \end{pmatrix} \in SU(1,1)$  la  $g : \xi \longmapsto \frac{a\xi + b}{\bar{b}\xi + \bar{a}}$

è un elemento di  $\text{Aut}(\Delta)$ , basta osservare che, essendo  $a \neq 0$ , essa può scriversi nella forma

$$g(\xi) = \frac{a}{\bar{a}} \cdot \frac{\xi + \frac{b}{a}}{1 + \frac{\bar{b}}{\bar{a}} \xi}$$

e che  $1 - \left| \frac{b}{a} \right|^2 = \frac{1}{|a|^2} > 0$  .

Viceversa, data la trasformazione di Moebius

$$\xi \mapsto e^{i\theta} \frac{\xi - \xi_0}{1 - \bar{\xi}_0 \xi} \quad \text{con } \xi_0 \in \Delta \text{ e } \theta \in \mathbb{R}$$

scegliendo  $a$  tale che  $1 - |\xi_0|^2 = \frac{1}{|a|^2}$  e  $\frac{a}{\bar{a}} = e^{i\theta}$ , e  $b = -\xi_0 a$ ,

risulta

$$e^{i\theta} \frac{\xi - \xi_0}{1 - \bar{\xi}_0 \xi} \equiv \frac{a\xi + b}{\bar{b}\xi + \bar{a}} .$$

Dunque  $\phi(\text{SU}(1,1)) = \text{Aut}(\Delta)$  . In fine si verifica facilmente che  $\phi$  è

un omomorfismo di gruppi e che  $\text{Ker } \phi = \left\{ \pm \begin{pmatrix} 1 & 0 \\ 0 & 1 \end{pmatrix} \right\} = \text{centro di } \text{SU}(1,1)$  .

### § 1.2. METRICA DI POINCARÉ NEL DISCO.

Proviamo intanto il

LEMMA DI SCHWARZ-PICK. Per ogni  $f \in \text{Hol}(\Delta, \Delta)$ , risulta

$$1) \quad \left| \frac{f(\xi_2) - f(\xi_1)}{1 - \overline{f(\xi_1)} f(\xi_2)} \right| \leq \left| \frac{\xi_2 - \xi_1}{1 - \bar{\xi}_1 \xi_2} \right| \quad \text{per tutti gli } \xi_1, \xi_2 \in \Delta$$

Se  $f \in \text{Aut}(\Delta)$  vale il segno di uguaglianza. Viceversa se vale il segno di uguaglianza in due punti  $\xi_1 \neq \xi_2$  di  $\Delta$ , è  $f \in \text{Aut}(\Delta)$ .

$$2) \quad \frac{|f'(\xi)|}{1 - |f(\xi)|^2} \leq \frac{1}{1 - |\xi|^2} \quad \text{per ogni } \xi \in \Delta.$$

Se  $f \in \text{Aut}(\Delta)$  vale l'uguaglianza in ogni  $\xi \in \Delta$ .

Viceversa se vale l'uguaglianza in uno  $\xi_0 \in \Delta$ , è  $f \in \text{Aut}(\Delta)$ .

Dimostrazione. Data  $f \in \text{Hol}(\Delta, \Delta)$ , la  $g \in \text{Hol}(\Delta, \Delta)$  definita dalla

$$g(\xi) = \frac{f(\xi) - f(0)}{1 - \overline{f(0)} f(\xi)}$$

verifica la  $g(0) = 0$ . Quindi per il lemma di Schwarz si ha:

$$|g(\xi)| = \left| \frac{f(\xi) - f(0)}{1 - \overline{f(0)} f(\xi)} \right| \leq |\xi| \quad \text{per ogni } \xi \in \Delta, \quad (1.2.1)$$

Se vale l'uguaglianza per uno  $\xi \neq 0$  è  $g(\xi) = e^{i\theta} \xi$  per un opportuno  $\theta \in \mathbb{R}$  e per tutti gli  $\xi \in \Delta$ , pertanto

$$f(\xi) = e^{i\theta} \frac{\xi + f(0)e^{-i\theta}}{1 + \overline{f(0)}e^{-i\theta} \xi}$$

cioè  $f$  è una trasformazione di Moebius. Per completare la dimostrazione della 1) basta sostituire, nella (1.2.1), alla  $f(\xi)$  la funzione definita dalla

$$f\left(\frac{\xi + \xi_1}{1 + \overline{\xi_1} \xi}\right).$$

Proviamo la 2), applicando la 2) del lemma di Schwarz alla  $g(\xi)$  si ha:

$$|g'(0)| \leq 1 \quad \text{cioè} \quad \frac{|f'(0)|}{1 - |f(0)|^2} \leq 1, \quad \text{se vale l'uguaglianza}$$

$g$  è una rotazione e quindi  $f$  una trasformazione di Moebius. Sostituendo

alla  $f$  la funzione definita dalla  $f\left(\frac{\xi+\xi_1}{1+\bar{\xi}_1\xi}\right)$  si completa la

dimostrazione della 2).

C.V.D.

La metrica di Poincaré su  $\Delta$  è la metrica riemanniana espressa dalla

$$ds^2 = \frac{|d\xi|^2}{(1-|\xi|^2)^2} = g(\xi, \bar{\xi}) d\xi d\bar{\xi} .$$

La curvatura Gaussiana di tale metrica è costante ed è uguale a -4.

In generale, la curvatura Gaussiana della metrica  $2hd\xi d\bar{\xi}$  è data da

$$-(1/h) \cdot (\partial^2 \log h / \partial \xi \partial \bar{\xi}) .$$

OSSERVAZIONE 2. Dal lemma di Schwarz-Pick segue che gli automorfismi olomorfi sono isometrie per la metrica di Poincaré.

Indichiamo con

$$\langle x \rangle_{\xi} = \frac{|x|}{1-|\xi|^2} \quad \text{per } \xi \in \Delta \text{ e } x \in \mathbb{C}$$

la lunghezza del vettore  $x$ , rispetto alla metrica di Poincaré, in  $\xi$ .  
La 2) del lemma di Schwarz-Pick diventa

$$\langle f'(\xi) \rangle_{\xi} \leq \langle 1 \rangle_{\xi} \quad \text{per ogni } \xi \in \Delta ,$$

se vale l'uguaglianza in un punto  $\xi \in \Delta$  si ha uguaglianza per ogni  $\xi$ , ed  $f \in \text{Aut}(\Delta)$ .

Distanza per la metrica di Poincaré. Sia  $\omega : \Delta \times \Delta \rightarrow \mathbb{R}_+$  la funzione distanza definita dalla metrica di Poincaré:



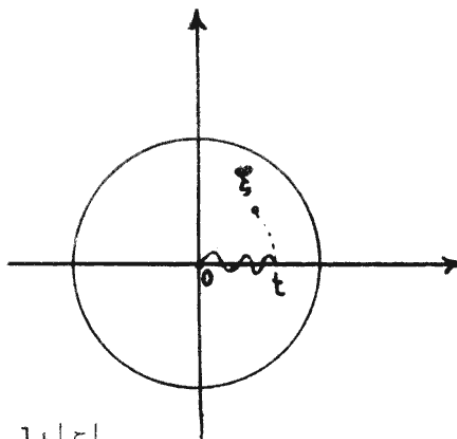
$$\omega(\xi_1, \xi_2) = \inf \int_a^b \langle \sigma'(t) \rangle_{\sigma(t)} dt \quad \text{per ogni } \xi_1, \xi_2 \in \Delta,$$

ove l'estremo inferiore è preso su tutte le curve  $\sigma: [a, b] \rightarrow \Delta$  differenziabili a tratti che congiungono  $\xi_1$  e  $\xi_2$  in  $\Delta$ .

Calcoliamo prima  $\omega(0, t)$  con  $t \in \mathbb{R}$ ,

$$\text{chiaramente } \omega(0, t) = \int_0^t \frac{ds}{1-s} = \frac{1}{2} \log \frac{1+t}{1-t}.$$

Poiché  $\omega$  è invariante per  $\text{Aut}(\Delta)$ ,  
risulta per  $\xi \in \Delta$



$$\omega(0, \xi) = \omega(0, |\xi|) = \int_0^{|\xi|} \frac{ds}{1-s} = \frac{1}{2} \log \frac{1+|\xi|}{1-|\xi|}. \quad (1.2.2)$$

Utilizzando ancora l'invarianza di  $\omega$  rispetto a  $\text{Aut}(\Delta)$ , calcoliamo  $\omega(\xi_1, \xi_2)$  per  $\xi_1, \xi_2 \in \Delta$ .

Preso  $f \in \text{Aut}(\Delta)$  tale che  $f(\xi_1) = 0$ , si ha

$$\omega(\xi_1, \xi_2) = \omega(0, f(\xi_2)) = \frac{1}{2} \log \frac{1+|f(\xi_2)|}{1-|f(\xi_2)|} = \frac{1}{2} \log \frac{1 + \left| e^{i\theta} \frac{\xi_2 - \xi_1}{1 - \bar{\xi}_1 \xi_2} \right|}{1 - \left| e^{i\theta} \frac{\xi_2 - \xi_1}{1 - \bar{\xi}_1 \xi_2} \right|}$$

$$= \frac{1}{2} \log \frac{1 + \left| \frac{\xi_2 - \xi_1}{1 - \bar{\xi}_1 \xi_2} \right|}{1 - \left| \frac{\xi_2 - \xi_1}{1 - \bar{\xi}_1 \xi_2} \right|} = \sum_{n=0}^{+\infty} \frac{1}{2n+1} \left| \frac{\xi_2 - \xi_1}{1 - \bar{\xi}_1 \xi_2} \right|^{2n+1}$$

Possiamo rinunciare il lemma di Schwarz-Pick, come segue:

$$\omega(f(\xi_1), f(\xi_2)) \leq \omega(\xi_1, \xi_2) \quad \forall f \in \text{Hol}(\Delta, \Delta) \text{ e } \forall \xi_1, \xi_2 \in \Delta, \quad (1.2.3)$$

se  $f \in \text{Aut}(\Delta)$  vale l'uguaglianza. Se vale l'uguaglianza in due punti distinti  $\xi_1$  e  $\xi_2$  di  $\Delta$  è  $f \in \text{Aut} \Delta$ .

OSSERVAZIONE 3. Dalla (1.2.2) segue che le geodetiche della metrica di Poincaré passanti per il centro 0 di  $\Delta$  sono tutti e soli i raggi del cerchio. Per conseguenza, dato un qualsiasi  $\xi \in \Delta \setminus \{0\}$ , esiste una ed una sola geodetica passante per 0 e per  $\xi$ . Quindi, in virtù dell'omogeneità di  $\Delta$ , per due punti distinti qualsiasi di  $\Delta$  passa una ed una sola geodetica della metrica di Poincaré. Tenuto conto che  $\text{Aut}(\Delta)$  è il gruppo delle trasformazioni di Möbius, un semplice calcolo conduce al seguente risultato.

Le geodetiche della metrica di Poincaré sono i diametri del cerchio  $\Delta$  e le intersezioni di  $\Delta$  con le circonferenze che incontrano ortogonalmente  $\partial\Delta$ .

NOTA. Per le nozioni precedenti rinviamo il lettore, ad esempio, a L. Bianchi [2].

§ 1.3. METRICA DI POINCARÉ NEL SEMIPIANO.

Accenniamo brevemente al modo in cui le considerazioni precedenti possano formularsi per il semipiano superiore  $\pi^+$  di  $\mathbb{C}$  (per ulteriori dettagli si veda, ad esempio, [11]).

L'applicazione  $C : \pi^+ \rightarrow \Delta$  definita dalla  $\xi \mapsto \frac{\xi - i}{\xi + i}$

è una applicazione biolomorfa di  $\pi^+$  su  $\Delta$  (trasformazione di Cayley).

Quindi si può determinare mediante  $C$  il gruppo  $\text{Aut}(\pi^+)$  cioè

$$\text{Aut}(\pi^+) = \{C^{-1} \circ f \circ C : f \in \text{Aut}(\Delta)\}.$$

D'altronde si può procedere direttamente come segue.

Consideriamo anzitutto il gruppo

$$\text{SL}(2, \mathbb{R}) = \left\{ \begin{pmatrix} a & b \\ c & d \end{pmatrix} : a, b, c, d \in \mathbb{R}, \det \begin{pmatrix} a & b \\ c & d \end{pmatrix} = 1 \right\}.$$

Si verifica facilmente che, per ogni matrice  $\begin{pmatrix} a & b \\ c & d \end{pmatrix} \in \text{SL}(2, \mathbb{R})$ ,

l'applicazione  $g : \xi \mapsto \frac{a\xi + b}{c\xi + d}$

definisce un automorfismo olomorfo di  $\pi^+$  e che l'applicazione

$$\phi' : \text{SL}(2, \mathbb{R}) \longrightarrow \text{Aut}(\pi^+) \quad \text{definita dalla}$$

$$\begin{pmatrix} a & b \\ c & d \end{pmatrix} \mapsto g$$

è un omomorfismo surgettivo di  $\text{SL}(2, \mathbb{R})$  su  $\text{Aut}(\pi^+)$ ,

il cui nucleo è  $\text{Ker}\phi' = \left\{ \pm \begin{pmatrix} 1 & 0 \\ 0 & 1 \end{pmatrix} \right\} = \text{centro di } \text{SL}(2, \mathbb{R})$ .

Poiché  $\text{Aut}(\pi^+) \simeq \text{Aut}(\Delta)$  gli omomorfismi surgettivi

$$\phi : \text{S U}(1,1) \longrightarrow \text{Aut}(\Delta)$$

e

$$\phi' : \text{S L}(2, \mathbb{R}) \longrightarrow \text{Aut}(\pi^+)$$

con  $\text{ker}\phi = \text{ker}\phi' = \left\{ \pm \begin{pmatrix} 1 & 0 \\ 0 & 1 \end{pmatrix} \right\}$ , definiscono un isomorfismo:

$$\frac{\text{S U}(1,1)}{\pm \left\{ \begin{pmatrix} 1 & 0 \\ 0 & 1 \end{pmatrix} \right\}} \simeq \frac{\text{S L}(2, \mathbb{R})}{\left\{ \pm \begin{pmatrix} 1 & 0 \\ 0 & 1 \end{pmatrix} \right\}}$$

Questo isomorfismo si può rialzare in un isomorfismo

$\psi : \text{S U}(1,1) \longrightarrow \text{S L}(2, \mathbb{R})$  nel modo seguente:

posto  $j = \begin{pmatrix} 1 & i \\ i & 1 \end{pmatrix}$ , ad ogni matrice  $h \in \text{S U}(1,1)$  associamo la

$g = j \cdot h \cdot j^{-1}$ . Si verifica facilmente che l'applicazione

$h \longmapsto j \cdot h \cdot j^{-1}$  definisce appunto un isomorfismo di  $\text{S U}(1,1)$  su  $\text{S L}(2, \mathbb{R})$  compatibile con gli omomorfismi

$\text{S U}(1,1) \longrightarrow \text{Aut}(\Delta)$  e  $\text{S L}(2, \mathbb{R}) \longrightarrow \text{Aut}(\pi^+)$ .

Indichiamo ora un'altra presentazione di  $\text{S L}(2, \mathbb{R})$ .

Ad ogni  $p \in \mathbb{R}^3$ ,  $p = (\xi, \eta, \delta)$ , associamo la matrice hermitiana

$$h = \begin{pmatrix} \delta & \xi + i\eta \\ \xi - i\eta & \delta \end{pmatrix} .$$

Data  $g \in S U(1,1)$ , la matrice  $h' = g \cdot h \cdot t_{\bar{g}}$  è hermitiana.

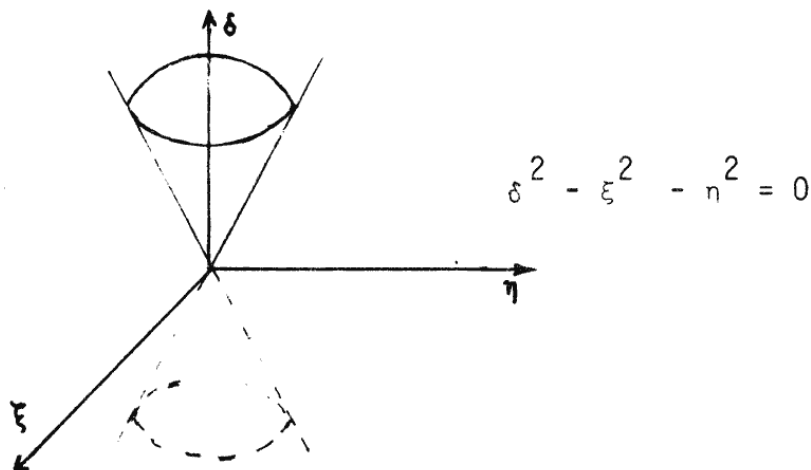
Difatti  $t_{\bar{h}'} = \overline{t_{(g \cdot h \cdot t_{\bar{g}})}} = g \cdot t_{\bar{h}} \cdot t_{\bar{g}} = g \cdot h \cdot t_{\bar{g}} = h'$ .

Posto quindi  $h' = \begin{pmatrix} \delta' & \xi' + i\eta' \\ \xi' - i\eta' & \delta' \end{pmatrix}$  e detto  $p' = (\xi', \eta', \delta')$ ,

ad ogni  $g \in S U(1,1)$  possiamo associare l'applicazione

$$T(g) : \mathbb{R}^3 \longrightarrow \mathbb{R}^3 \quad \text{tale che} \quad p \longmapsto p'.$$

L'applicazione  $T(g)$  è invertibile, con inversa  $T(g^{-1})$ , quindi  $T(g) \in GL(3, \mathbb{R})$ . Inoltre  $T(g) \in G'$  gruppo delle trasformazioni di  $\mathbb{R}^3$  che lasciano invariato il cono in figura



Infatti  $\delta'^2 - \xi'^2 - \eta'^2 = \det(h') = \det(g \cdot h \cdot t_{\bar{g}}) = \delta^2 - \xi^2 - \eta^2$ .

L'applicazione  $T : S U(1,1) \longrightarrow G'$  definita dalla  $g \longmapsto T(g)$

è un omomorfismo, il cui nucleo è  $\ker T = \left\{ \pm \begin{pmatrix} 1 & 0 \\ 0 & 1 \end{pmatrix} \right\}$ .

L'immagine di  $T$  è  $SO(2,1)$  gruppo delle matrici reali  $3 \times 3$ ,

con determinante 1, che lasciano invariato il cono  $\delta^2 - \xi^2 - \eta^2 = 0$

(detto il gruppo di Lorentz reale).

Si verifica che  $SL(2, \mathbb{R})$  è il rivestimento a due fogli del gruppo  $SO(2, 1)$ .

§ 1.4. PSEUDO-DISTANZE DI KOBAYASHI E DI CARATHÉODORY .

Indicheremo con  $D$  indifferentemente o una varietà complessa connessa, o uno spazio analitico complesso, o un dominio (i.e. un aperto connesso) di  $\mathbb{C}^n$ , o infine un dominio di uno spazio vettoriale topologico complesso localmente convesso e di Hausdorff  $E$ . Se  $D$  è un dominio di  $E$  ed  $E_1$  è un altro spazio dello stesso tipo di  $E$ , una applicazione ologomorfa  $F : D \longrightarrow E_1$  e per definizione una applicazione continua di  $D$  in  $E_1$  tale che, per ogni  $(x, y) \in D \times (E \setminus \{0\})$  e per ogni forma lineare continua  $\lambda_1$  su  $E_1$ , la funzione a valori complessi  $\xi \longrightarrow \lambda_1 \circ F(x + \xi y)$  è ologomorfa sull'aperto  $\{\xi \in \mathbb{C} : x + \xi y \in D\}$  di  $\mathbb{C}$ .

Se  $D_1$  è un dominio di  $E_1$ , con  $\text{Hol}(D, D_1)$  denoteremo l'insieme di tutte le applicazioni ologomorfe  $F : D \longrightarrow E_1$  tale che  $F(D) \subset D_1$ .

Per fissare le idee, nel seguito ci riferiremo prevalentemente al caso in cui  $D$  è un dominio, lasciando al lettore di adattare le nostre considerazioni agli altri casi sopra indicati.

La pseudo-distanza di Carathéodory in  $D$ , si indica con  $C_D$ , ed è definita nel modo seguente:

$C_D(x,y) = \text{Sup}\{\omega(f(x),f(y)) : f \in \text{Hol}(D,\Delta)\}$  per ogni  $x,y \in D$ .

Una volta provato che  $C_D(x,y) < \infty$ , è chiaro che  $C_D$  è una pseudo-distanza cioè verifica

$$0 \leq C_D(x,y) = C_D(y,x) \quad \text{e} \quad C_D(x,y) \leq C_D(x,z) + C_D(z,y) .$$

La pseudo-distanza di Carathéodory fu introdotta da Carathéodory nel 1927 per domini di  $\mathbb{C}^2$ . Per provare che  $C_D(x,y) < \infty$  egli fece ricorso alla teoria delle famiglie normali.

Difatti può scriversi  $C_D(x,y) = \lim_n \omega(f_n(x),f_n(y))$  con  $f_n \in \text{Hol}(D,\Delta)$ . Dalla teoria delle famiglie normali segue che esiste una sottosuccessione  $(f_{n_j})$  che converge uniformemente sui compatti di  $D \subset \mathbb{C}^2$ .

Proveremo che  $C_D(x,y) < \infty$ , costruendo in  $D$  la pseudo-distanza di Kobayashi  $d_D$  e provando che  $C_D \leq d_D$ .

La pseudo-distanza di Kobayashi  $d_D(x,y)$  tra due punti  $x$  e  $y$  in  $D$  è definita come segue.

Una catena analitica in  $D$ , congiungente due punti  $x$  e  $y$  di  $D$ , consiste di un numero finito  $\nu$  di funzioni  $f_j \in \text{Hol}(\Delta,D)$  e di  $2\nu$  punti  $\xi_1', \xi_1'', \dots, \xi_\nu', \xi_\nu'' \in \Delta$ , tale che

$$f_1(\xi_1') = x, \quad f_j(\xi_j'') = f_{j+1}(\xi_{j+1}') \quad (j=1,2,\dots,\nu-1), \quad f_\nu(\xi_\nu'') = y .$$

La somma  $\sum_{j=1}^{\nu} \omega(\xi_j', \xi_j'')$  è detta lunghezza della catena analitica.

Essendo  $D$  connesso, l'esistenza di catene analitiche congiungenti  $x$  e  $y$  in  $D$  è assicurata.

La pseudo-distanza di Kobayashi  $d_D(x,y)$  è, per definizione,

$$d_D(x,y) = \inf_{\sum_{j=1}^v \omega(\xi_j', \xi_j'')} \omega(\xi_j', \xi_j'')$$

dove l'estremo inferiore è preso su tutte le catene analitiche che congiungono  $x$  e  $y$  in  $D$ . Dalla definizione segue che

$d_D$  è una pseudo-distanza.

ESEMPIO 1.4.1.

$$d_{\Delta}(x,y) = \omega(x,y) \quad (x,y \in \Delta) .$$

Dimostrazione. Prendendo  $v = 1$ ,  $f_1 : \xi \longrightarrow \xi$ , si ottiene

$d_{\Delta}(x,y) \leq \omega(x,y)$ . D'altra parte, per una catena analitica qualsiasi si facendo ricorso alla (1.2.3) ed alla disuguaglianza triangolare, si ha

$$\sum_{j=1}^v \omega(\xi_j', \xi_j'') \geq \sum_{j=1}^v \omega(f_j(\xi_j'), f_j(\xi_j'')) \geq \omega(f_1(\xi_1'), f_v(\xi_v'')) =$$

$$= \omega(x,y) . \quad \text{Quindi} \quad d_{\Delta}(x,y) = \omega(x,y) . \quad \text{C.V.D.}$$

LEMMA 1.4.1. *Le applicazioni olomorfe contraggono la pseudo-distanza di Kobayashi, cioè per ogni  $F \in \text{Hol}(D, D_1)$  risulta*

$$d_{D_1}(F(x), F(y)) \leq d_D(x,y) \quad \text{per ogni } x, y \in D .$$

Dimostrazione. Segue banalmente dalla definizione di pseudo-distanza di Kobayashi, tenendo conto che ogni catena analitica in  $D$  che congiunge  $x$  e  $y$ , definisce una catena analitica in  $D_1$  che congiunge  $F(x)$  e  $F(y)$ .



In particolare si ha che:

- a) ogni diffeomorfismo biolomorfo di  $D$  in  $D_1$ , è una isometria per entrambe le pseudo-distanze  $d_D$  e  $d_{D_1}$ .
- b) Ogni  $F \in \text{Aut}(D)$  è una isometria per  $d_D$ .
- c) Se  $D \hookrightarrow D_1$ ,  $d_{D_1}(x,y) \leq d_D(x,y)$  per ogni  $x,y \in D$ .

COROLLARIO 1.4.1.

$$c_D(x,y) \leq d_D(x,y) \quad \text{per ogni } x,y \in D.$$

Dimostrazione. Sia  $f \in \text{Hol}(D,\Delta)$ . Dal lemma 1.4.1 segue che

$$d_\Delta(f(x),f(y)) \leq d_D(x,y) \quad \text{per ogni } x,y \in D.$$

D'altronde dall'esempio 1.4.1

$$d_\Delta(f(x),f(y)) = \omega(f(x),f(y)), \text{ perciò}$$

$$\omega(f(x),f(y)) \leq d_D(x,y) \quad \text{per ogni } x,y \in D.$$

Ciò implica che  $\text{Sup}\{\omega(f(x),f(y)) : f \in \text{Hol}(D,\Delta)\} \leq d_D(x,y)$ ,

ossia 
$$c_D(x,y) \leq d_D(x,y) \quad \text{per ogni } x,y \in D.$$

Per conseguenza risulta

$$c_D(x,y) < \infty \quad \text{per ogni } x,y \in D.$$

C.V.D.

La pseudo distanza di Kobayashi è estrema, nel senso precisato dal seguente

LEMMA 1.4.2. Se  $d'$  è una pseudo distanza su  $D$  tale che  $d'(f(\xi_1), f(\xi_2)) \leq \omega(\xi_1, \xi_2)$  per ogni  $f \in \text{Hol}(\Delta, D)$  e per ogni  $\xi_1, \xi_2 \in \Delta$ , allora  $d' \leq d_D$ .

Dimostrazione. Sia  $(f_j)_{j=1, \dots, \nu} \in \text{Hol}(\Delta, D)$  una qualsiasi catena analitica congiungente due punti  $x$  e  $y$  di  $D$ .

Applicando la disuguaglianza triangolare e l'ipotesi del lemma, si ha

$$d'(x, y) \leq \sum_{j=1}^{\nu} d'(f_j(\xi'_j), f_j(\xi''_j)) \leq \sum_{j=1}^{\nu} \omega(\xi'_j, \xi''_j).$$

Pertanto  $d'(x, y) \leq d_D(x, y)$ .

C.V.D.

ESEMPIO 1.4.1'.

$$C_{\Delta}(x, y) = \omega(x, y) = d_{\Delta}(x, y) \quad (x, y \in \Delta).$$

Dimostrazione. Prendendo  $f : \xi \longrightarrow \xi$  risulta  $\omega(x, y) \leq C_{\Delta}(x, y)$ .

D'altronde  $C_{\Delta}(x, y) \leq d_{\Delta}(x, y) = \omega(x, y)$ .

LEMMA 1.4.3. Le applicazioni oloedomorfe contraggono la pseudo distanza di Carathéodory, cioè per ogni  $F \in \text{Hol}(D, D_1)$  risulta

$$C_{D_1}(F(x), F(y)) \leq C_D(x, y) \quad \text{per ogni } x, y \in D.$$

Dimostrazione. Segue banalmente dalla definizione di pseudo distanza di Carathéodory, tenendo conto che ogni  $f \in \text{Hol}(D_1, \Delta)$  definisce una

$f' = f \circ F \in \text{Hol}(D, \Delta)$ .

In particolare risulta:

a) Ogni diffeomorfismo biolomorfo di  $D$  in  $D_1$ , è una isometria per entrambe le pseudo distanze  $C_{D_1}$  e  $C_D$ .

b) Ogni  $F \in \text{Aut}(D)$  è una isometria per  $C_D$ .

c) Se  $D \hookrightarrow D_1$ ,  $C_{D_1}(x,y) \leq C_D(x,y)$  per ogni  $x,y \in D$ .

Anche la pseudo distanza di Carathéodory è estramale nel senso precisato dal seguente

LEMMA 1.4.4. Se  $C'$  è una pseudo-distanza su  $D$  tale che  $C'(x,y) \geq \omega(f(x), f(y))$  per ogni  $f \in \text{Hol}(D, \Delta)$  e per ogni  $x,y \in D$ , allora  $C' \geq C_D$ .

Dimostrazione. Segue banalmente dalla definizione di  $C_D$ .

ESEMPIO 1.4.2. Sia  $p$  una seminorma continua su  $E$ , e sia  $B_p = \{x \in E : p(x) < 1\}$ . Per ogni  $x \in B_p$  risulta

$$C_{B_p}(0,x) = d_{B_p}(0,x) = \omega(0,p(x)) .$$

Dimostrazione.

1° caso. Sia  $x \in B_p$  con  $p(x) > 0$ .

La funzione olomorfa  $\xi \longmapsto \frac{\xi x}{p(x)}$  applica  $\Delta$  in  $B_p$ ,

$0 \longmapsto 0$  e  $p(x) \longmapsto x$ . Perciò

$$C_{B_p}(0,x) \leq d_{B_p}(0,x) \leq \omega(0,p(x)) .$$

Resta da provare che  $\omega(0, p(x)) \leq C_{B_p}(0, x)$ . Per il teorema di Hahn-Banach, esiste una forma lineare continua  $\lambda$  su  $E$  tale che  $\lambda(x) = p(x)$  e  $|\lambda(y)| \leq p(y)$  per ogni  $y \in E$ . Perciò  $\lambda$  applica  $B_p$  in  $\Delta$ , ossia  $\lambda \in \text{Hol}(B_p, \Delta)$ . Ne segue che  $\omega(0, p(x)) = \omega(\lambda(0), \lambda(x)) \leq C_{B_p}(0, x)$ .

2° caso. Sia  $x \in B_p \setminus \{0\}$  con  $p(x) = 0$ .

Per ogni  $t > 1$ , consideriamo la funzione olomorfa

$$f_t : \xi \longmapsto t\xi \cdot x .$$

Questa funzione applica  $\Delta$  in  $B_p$ , inoltre  $f_t(0) = 0$  e

$$f_t\left(\frac{1}{t}\right) = x . \text{ Quindi}$$

$$C_{B_p}(0, x) \leq d_{B_p}(0, x) = d_{B_p}(f_t(0), f_t\left(\frac{1}{t}\right)) \leq \omega\left(0, \frac{1}{t}\right) =$$

$$= \frac{1}{2} \log \frac{1 + \frac{1}{t}}{1 - \frac{1}{t}} \longrightarrow 0 \text{ per } t \longrightarrow +\infty . \text{ Pertanto}$$

$$C_{B_p}(0, x) = d_{B_p}(0, x) = 0 = \omega(0, p(x)) .$$

C.V.D.

Più in generale abbiamo

ESEMPIO 1.4.2'. Sia  $r > 0$  e sia  $B_p(x_0, r) = \{x \in E : p(x - x_0) < r\}$ .

Per ogni  $x \in B_p(x_0, r)$  risulta

$$C_{B_p(x_0, r)}(x_0, x) = d_{B_p(x_0, r)}(x_0, x) = \omega\left(0, \frac{p(x-x_0)}{r}\right)$$

ESEMPIO 1.4.3. Sia  $D = \Delta \times \Delta$ . Per  $x = (\xi_1, \xi_2)$  e  $x' = (\xi'_1, \xi'_2)$

punti di  $D$ , si ha

$$C_D(x, x') = d_D(x, x') = \max\{\omega(\xi_1, \xi'_1), \omega(\xi_2, \xi'_2)\}.$$

Dimostrazione. Consideriamo il caso in cui  $\xi_1 = \xi_2 = 0$ .

Sia  $p : \mathbb{C} \times \mathbb{C} \longrightarrow \mathbb{R}$  la norma definita dalla

$$(\delta_1, \delta_2) \longmapsto \max\{|\delta_1|, |\delta_2|\}. \text{ Chiaramente}$$

$D = \Delta \times \Delta = B_p = \{y \in \mathbb{C}^2 : p(y) < 1\}$ , perciò applicando l'esempio 1.4.2 abbiamo

$$C_D(0, x') = d_D(0, x') = \omega(0, p(x')) = \omega(0, \max\{|\xi'_1|, |\xi'_2|\}) =$$

$$= \max\{\omega(0, \xi'_1), \omega(0, \xi'_2)\}. \text{ La conclusione, per il caso in cui}$$

$x = (\xi_1, \xi_2) \neq (0, 0)$ , segue dal fatto che il gruppo  $\text{Aut}(\Delta) \times \text{Aut}(\Delta)$

opera transitivamente su  $D$  lasciando invarianti  $C_D$  e  $d_D$ .

C.V.D.

PROPOSIZIONE 1.4.1. Le funzioni  $C_D : D \times D \longrightarrow \mathbb{R}_+$  e  
 $d_D : D \times D \longrightarrow \mathbb{R}_+$  sono continue.

Dimostrazione. Sia  $p$  una semi-norma continua su  $E$ .

Dato  $x_0 \in D$ , essendo  $D$  aperto, esiste  $r > 0$  tale che

$$B_p(x_0, r) \subset D.$$

Dal Corollario 1.4.1 e dal Lemma 1.4.1 segue che

$$C_D(x_0, x) \leq d_D(x_0, x) \leq d_{B_p(x_0, r)}(x_0, x),$$

d'altronde dall'esempio 1.4.2' segue che

$$d_{B_p(x_0, r)}(x_0, x) = \omega\left(0, \frac{p(x_0 - x)}{r}\right). \text{ Pertanto le funzioni}$$

$x \longmapsto C_D(x_0, x)$  e  $x \longmapsto d_D(x_0, x)$  sono continue.

Inoltre per  $x_0, y_0, x, y$  in  $D$  si ha:

$$\begin{aligned} |C_D(x_0, y_0) - C_D(x, y)| &\leq |C_D(x_0, x) + C_D(x, y_0) - C_D(x, y)| \leq \\ &\leq |C_D(x_0, x) + C_D(x, y) + C_D(y, y_0) - C_D(x, y)| = C_D(x_0, x) + C_D(y_0, y), \end{aligned}$$

analogamente

$$|d_D(x_0, y_0) - d_D(x, y)| \leq d_D(x_0, x) + d_D(y_0, y). \text{ Quindi possiamo}$$

in definitiva concludere affermando che le funzioni  $C_D$  e  $d_D$  sono continue su  $D \times D$ .

C.V.D.

LEMMA 1.4.5. Se  $D$  è un dominio limitato di  $E$ , allora  $C_D$

e  $d_D$  definiscono su  $D$  la topologia relativa.

Dimostrazione. Sia  $x_0 \in D$  e, per  $s > 0$ , sia

$$S(x_0, s) = \{x \in D : d_D(x_0, x) < s\} .$$

Per provare il lemma 1.4.5 riferito a  $d_D$ , è sufficiente provare che per ogni intorno  $U$  di  $x_0$  in  $D$  esiste un  $s > 0$  tale che  $S(x_0, s) \subset U$ . Sia  $p$  una semi-norma continua su  $E$  e sia  $r > 0$  tale che  $B_p(x_0, r) \subset U$ . Essendo  $D$  limitato, esiste  $R > 0$  tale che  $D \subset B_p(x_0, R)$ . Dal lemma 1.4.1. e dall'esempio 1.4.2' segue che:

$$\begin{aligned} d_D(x_0, x) &\geq d_{B_D(x_0, R)}(x_0, x) = \omega\left(0, \frac{p(x-x_0)}{R}\right) = \\ &= \sum_{n=0}^{+\infty} \frac{1}{2^{n+1}} \left(\frac{p(x-x_0)}{R}\right)^{2n+1} \geq \frac{p(x-x_0)}{R} . \end{aligned}$$

Per ogni  $x \in S(x_0, s)$ , con  $s = \frac{r}{R}$ , risulta quindi

$$p(x-x_0) \leq R d_D(x_0, x) < R \cdot \frac{r}{R} = r \quad \text{cioè} \quad S(x_0, s) \subset B_p(x_0, r)$$

con  $B_p(x_0, r) \subset U$ . In modo analogo si opera per  $C_D$ .

C.V.D.

**COROLLARIO 1.4.2.** *Sotto le stesse ipotesi del lemma 1.4.5., entrambe le pseudo distanze  $C_D$  e  $d_D$  sono distanze.*

**DEFINIZIONE 1.4.1.** Se  $d_D$  è una distanza,  $D$  si dice iperbolico.

PROPOSIZIONE 1.4.2. Se  $\mathcal{D}$  è una varietà complessa o uno spazio analitico, iperbolico, di dimensione finita, allora la topologia definita da  $d_{\mathcal{D}}$  è equivalente alla topologia relativa di  $\mathcal{D}$ .

Questo risultato è dovuto a Barth ( per la dimostrazione si può consultare [1] ).

ESEMPIO 1.4.4.

$$d_E = C_E = 0 .$$

Dimostrazione. Considerando la semi norma  $p = 0$ , si ha  $B_p \equiv E$  e quindi dall'esempio 1.4.2 segue che  $d_E = C_E = 0$  .

ESEMPIO 1.4.5. Se  $M$  è varietà complessa sulla quale opera transitivamente un gruppo di Lie complesso  $G$ , allora  $d_M = 0$  (e quindi  $C_M = 0$ ) .

Dimostrazione. Per ogni  $p \in M$ , consideriamo  $U$  intorno di  $p$  tale ogni  $q \in U$  stà nell'orbita passante per  $p$  di un sottogruppo complesso ad un parametro di  $G$ . Segue che per ogni  $q \in U$ , esiste una  $F \in \text{Hol}(\mathbb{C}, M)$  con  $p, q \in F(\mathbb{C})$ . Quindi

$$d_M(p, q) = d_M(F(z_1), F(z_2)) \leq d_{\mathbb{C}}(z_1, z_2) = 0 , \text{ cioè } d_M(p, q) = 0 .$$

Siccome ogni coppia di punti  $p, q \in M$  possono essere congiunti con una catena di intorni del tipo  $U$ , applicando la disuguaglianza triangolare segue che  $d_M(p, q) = 0$  per tutti i  $p, q \in M$ .

C.V.D.

OSSERVAZIONE 4.

Da un classico teorema di Bochner e Montgomery segue pertanto



che  $d_M = 0$  per ogni varietà complessa compatta omogenea. Ad esempio  $d_M = 0$  se  $M$  è uno spazio proiettivo complesso o un toro complesso.

Per trovare esempi in cui  $d_D \neq C_D$  consideriamo il caso in cui  $D$  è una varietà complessa (di dimensione finita), ed esaminiamo i rivestimenti (per le nozioni concernenti i rivestimenti cfr., ad esempio, [12]).

Sia  $\pi : \tilde{D} \longrightarrow D$  un rivestimento di  $D$ .

LEMMA 1.4.6. Siano  $x, y \in D$ , scegliamo un  $\tilde{x} \in \tilde{D}$  tale che  $\pi(\tilde{x}) = x$ . Risulta

$$d_D(x, y) = \inf\{d_{\tilde{D}}(\tilde{x}, \tilde{y}) : \tilde{y} \in \pi^{-1}(y)\} .$$

Dimostrazione. Intanto, siccome  $\pi$  è una applicazione che contrae le distanze di  $\tilde{D}$  in  $D$ , risulta

$$d_D(x, y) \leq \inf\{d_{\tilde{D}}(\tilde{x}, \tilde{y}) : \tilde{y} \in \pi^{-1}(y)\}$$

Supponiamo che esista una  $\varepsilon > 0$  tale che

$$d_D(x, y) + \varepsilon < \inf\{d_{\tilde{D}}(\tilde{x}, \tilde{y}) : \tilde{y} \in \pi^{-1}(y)\} . \quad (1.4.1)$$

Dalla definizione di  $d_D$  segue che esiste una catena analitica congiungente  $x$  e  $y$  in  $D$ , la cui lunghezza è minore di

$d_D(x, y) + \varepsilon$ , cioè esistono  $\xi_1', \xi_1'', \dots, \xi_v', \xi_v'' \in \Delta$ ,  $f_1, \dots, f_v \in \text{Hol}(\Delta, D)$

tale che  $f_1(\xi_1') = x, f_j(\xi_j'') = f_{j+1}(\xi_{j+1}') \quad (j = 1, \dots, v-1), f_v(\xi_v'') = y$

e  $\sum_{j=1}^{\nu} \omega(\xi_j', \xi_j'') < d_D(x, y) + \varepsilon$ . Poiché  $\pi$  è un omomorfismo locale, scegliendo opportunamente la catena, possiamo definire una catena analitica in  $\tilde{D}$  in guisa tale che

$$\tilde{f}_j \in \text{Hol}(\Delta, \tilde{D}) \quad (j = 1 \dots, \nu), \quad \pi \circ \tilde{f}_j = f_j, \quad \tilde{f}_1(\xi_1') = \tilde{x},$$

$$\tilde{f}_j(\xi_j'') = \tilde{f}_{j+1}(\xi_{j+1}') \quad (j=1, 2, \dots, \nu-1), \quad \tilde{f}_\nu(\xi_\nu'') = \tilde{y}. \quad \text{Pertanto}$$

$$d_D^\nu(\tilde{x}, \tilde{y}) \leq \sum_{j=1}^{\nu} \omega(\xi_j', \xi_j'') < d_D(x, y) + \varepsilon \quad \text{in contraddizione con la}$$

(1.4.1) .

C.V.D.

OSSERVAZIONE 5. Il lemma 1.4.6. non vale per  $C_D$  .

LEMMA 1 4.7. Se  $D$  ha dimensione finita, allora  $D$  è iperbolico se, e solo se,  $\tilde{D}$  è iperbolico.

Dimostrazione. Sia  $\tilde{D}$  iperbolico,  $x, y \in D$  tale che  $d_D(x, y) = 0$ .

Preso  $\tilde{x} \in \pi^{-1}(x)$ ; per il lemma 1.4.6 esiste una successione

$\tilde{y}_\nu \in \pi^{-1}(y)$  tale che  $\lim_{\nu} d_D^\nu(\tilde{y}_\nu, \tilde{x}) = 0$ . Quindi  $\{\tilde{y}_\nu\}$  converge

a  $\tilde{x}$  (infatti essendo  $\dim D < \infty$ , basta applicare la proposizione 1.4.2). Ne segue che  $x = \pi(\tilde{x}) = \lim \pi(\tilde{y}_\nu) = \lim y = y$  . Perciò  $D$  è iperbolico.

Sia ora  $D$  iperbolico, e siano  $\tilde{x}, \tilde{y} \in \tilde{D}$  tale che  $d_D^\nu(\tilde{x}, \tilde{y}) = 0$  .

Posto  $x = \pi(\tilde{x})$  e  $y = \pi(\tilde{y})$ , è  $d_D(x, y) = d_D(\pi, (\tilde{x}), \pi(\tilde{y}))$ .

Poiché  $\pi$  contrae le distanze,  $d_D(\pi(\tilde{x}), \pi(\tilde{y})) \leq d_D^{\sim}(\tilde{x}, \tilde{y}) = 0$ .

Siccome  $D$  è iperbolico, è  $x = y$ , ossia  $\tilde{x}$  e  $\tilde{y}$  si trovano sulla stessa fibra di  $\pi$ .

Tenendo conto della proposizione 1.4.2, consideriamo un intorno  $\tilde{U}$  di  $\tilde{x}$  in  $\tilde{D}$  tale che  $\pi$  sia un diffeomorfismo di  $\tilde{U}$  su

$\pi(\tilde{U})$ , con  $\pi(\tilde{U})$   $\varepsilon$ -intorno di  $x$  in  $D$  rispetto a  $d_D$  cioè

$\pi(\tilde{U}) = \{z \in D : d_D(x, z) < \varepsilon\}$ . Essendo  $\pi(\tilde{x}) = \pi(\tilde{y})$ , per provare

che  $\tilde{x} = \tilde{y}$  basta provare che  $\tilde{y} \in \tilde{U}$ . Essendo  $d_D^{\sim}(\tilde{x}, \tilde{y}) = 0$ , esiste

una catena analitica da  $\tilde{x}$  a  $\tilde{y}$  in  $\tilde{D}$  la cui lunghezza è minore di  $\varepsilon$ . Cioè esistono

$\xi_1', \xi_1'', \dots, \xi_v', \xi_v'' \in \Delta$ , e  $f_1, \dots, f_v \in \text{Hol}(\Delta, \tilde{D})$ , tale che

$f_1(\xi_1') = \tilde{x}$ ,  $f_j(\xi_j'') = f_{j+1}(\xi_{j+1}')$  ( $j = 1, 2, \dots, v-1$ ),  $f_v(\xi_v'') = \tilde{y}$ ,

e  $\sum_{j=1}^v \omega(\xi_j', \xi_j'') < \varepsilon$ . Sia  $\ell_j$  l'arco di geodetica da  $\xi_j'$  a  $\xi_j''$

in  $\Delta$  per ogni  $j = 1, \dots, v$ . Indichiamo con  $\tilde{\ell}$  l'arco di curva

da  $\tilde{x}$  a  $\tilde{y}$  in  $\tilde{D}$ , ottenuto dalle curve  $f_1(\ell_1), \dots, f_v(\ell_v)$ .

Siccome  $\ell_j$  ( $j = 1, \dots, v$ ) sono geodetiche in  $\Delta$  e  $\pi \circ f_j$  ( $j = 1, \dots, v$ )

sono applicazioni che contraggono le distanze, per ogni  $\tilde{z} \in \tilde{\ell}$ :

$d_D(x, \pi(\tilde{z})) = d_D(\pi(\tilde{x}), \pi(\tilde{z})) \leq d_D^{\sim}(\tilde{x}, \tilde{z}) \leq \sum_{j=1}^v \omega(\xi_j', \xi_j'') < \varepsilon$ .

Quindi  $\ell = \pi(\tilde{\ell})$  è contenuta nell' $\varepsilon$ -intorno  $\pi(\tilde{U})$  di  $x$ , e quindi  $\tilde{\ell}$  è contenuta in  $\tilde{U}$ . Pertanto  $\tilde{y} \in \tilde{U}$ .

C.V.D.

ESEMPIO 1.4.6. a) Se  $D$  è un toro complesso di dimensione  $n$ , il rivestimento universale di  $D$  è  $\mathbb{C}^n$ . Quindi  $d_D = C_D = 0$ .

b) Se  $D$  è una superficie di Riemann compatta di genere  $\geq 2$ , il rivestimento universale di  $D$  è  $\Delta$ . Quindi  $D$  è iperbolica.

c) Se  $D$  è la sfera di Riemann  $P^1(\mathbb{C})$ , è  $d_D = C_D = 0$ , come abbiamo già osservato.

d) Se  $D$  è una varietà compatta,  $C_D = 0$  per il principio del massimo.

Vogliamo costruire ora esempi in cui  $0 \neq C_D \neq d_D$ .

DEFINIZIONE 1.4.2. Sia  $D$  iperbolico.  $D$  lo diremo completo se è completo rispetto a  $d_D$ , cioè se per ogni  $x \in D$  e per ogni  $r > 0$  la palla chiusa di centro  $x$  e raggio  $r$  è un sottoinsieme compatto di  $D$ .

Ad esempio, la distanza di Poincaré in  $\Delta$  (o in  $\pi^+$ ) è completa.

La definizione data è equivalente a quella usuale in termini di successioni di Cauchy, ciò però non vale in generale per una distanza qualsiasi.

PROPOSIZIONE 1.4.3. Se  $D$  ha dimensione finita, allora  $D$  è iperbolico completo, se e solo se,  $\tilde{D}$  è iperbolico completo.

*Dimostrazione.* Sia  $\tilde{D}$  iperbolico completo. Dal lemma 1.4.7.  $D$

è iperbolico e per la proposizione 1.4.2 la topologia definita da  $d_D$  è equivalente a quella relativa di  $D$ .

Fissato  $\tilde{x}$  e  $\tilde{D}$ , sia  $B_r = \{\tilde{y} \in \tilde{D} : d_D^v(\tilde{x}, \tilde{y}) \leq r\}$  la palla di centro  $\tilde{x}$  e raggio  $r$ . Sia  $B_r$  la palla di centro  $x = \pi(\tilde{x})$  e  $D$  e raggio  $r$  per  $d_D$ . Dal lemma 1.4.6, abbiamo  $B_r \subset \pi(B_{r+\varepsilon})$  per  $\varepsilon > 0$ . D'altronde essendo  $\tilde{D}$  completo,  $B_{r+\varepsilon}$  sarà compatta per cui la palla chiusa  $B_r$  sarà pure compatta. Pertanto  $D$  è completo.

Sia ora  $D$  iperbolico completo. Proveremo che  $\tilde{D}$  è completo in termini di successioni di Cauchy. Consideriamo dunque una successione  $\{\tilde{x}_i\}$  di Cauchy in  $\tilde{D}$ . Poiché  $\pi$  contrae le distanze, allora  $\{\pi(\tilde{x}_i)\}$  è una successione di Cauchy in  $D$ , e quindi

$\{\pi(\tilde{x}_i)\}$  converge a un punto  $x \in D$ . Sia  $U$  un  $2\varepsilon$ -intorno di  $x$  in  $D$  con  $\varepsilon > 0$  sufficientemente piccolo, allora  $\pi$  induce un omeomorfismo di ogni componente connessa di  $\pi^{-1}(U)$  in  $U$ .

Sia  $N$  un intero tale che  $\pi(\tilde{x}_i) \in U'$  per ogni  $i > N$ , ove  $U'$  è l' $\varepsilon$ -intorno di  $x$  in  $D$ , ne segue che ogni punto fuori di  $U$  è almeno a distanza  $\varepsilon$  da  $\pi(\tilde{x}_i)$ . Indichiamo con  $U_i$  la componente connessa di  $\pi^{-1}(U)$  contenente  $\tilde{x}_i$ . Facciamo vedere che per ogni  $i > N$ , le palle  $\{\tilde{y} \in \tilde{D} : d_D^v(\tilde{x}_i, \tilde{y}) < \varepsilon\}$  sono contenute negli  $U_i$ . Sia  $\tilde{y}_0 \in \tilde{D}$  con  $d_D^v(\tilde{x}_i, \tilde{y}_0) < \varepsilon$ , allora esiste una catena analitica  $\{\xi_1, \dots, \xi_v\}$  da  $\tilde{x}_i$  a  $\tilde{y}_0$  di lunghezza minore di  $\varepsilon$ ,

cioè tale che  $\sum_{j=1}^v \omega(\xi_j', \xi_j'') < \epsilon$ . Indichiamo con  $\ell_j$  l'arco geodetico da  $\xi_j'$  a  $\xi_j''$  e con  $\tilde{\ell}$  la curva da  $\tilde{x}_i$  a  $\tilde{y}_0$  ottenuta dalle curve  $f_1(\ell_1) \dots f_v(\ell_v)$  in  $\tilde{D}$ . Dalla costruzione fatta segue che  $\tilde{\ell} = \pi(\tilde{\ell})$  è contenuta nell' $\epsilon$ -intorno di  $\pi(\tilde{x}_i)$  e quindi in  $U$ . Pertanto  $\tilde{\ell}$  è contenuta in  $\tilde{U}_i$  e quindi  $\tilde{y}_0 \in \tilde{U}_i$ . Ora detto  $\tilde{x}$  il punto di  $\tilde{U}_i$  con  $\pi(\tilde{x}) = x$ , la successione  $\{\tilde{x}_i\}$  converge a  $\tilde{x}$ .

C.V.D.

ESEMPIO 1.4.7. Sia  $\Delta^* = \Delta \setminus \{0\}$ . Per il teorema di estensione di Riemann  $C_{\Delta^*} = C_{\Delta}$ . Quindi  $C_{\Delta^*}$  non è completa.

D'altronde  $\Delta^*$  è iperbolico completo. Infatti l'applicazione  $p : \pi^+ \longrightarrow \Delta^*$  tale che  $\xi \longmapsto e^{2\pi i \xi}$ , definisce  $\pi^+$  come rivestimento a infiniti fogli di  $\Delta^*$ .

Siccome  $\pi^+$  è iperbolico completo, per la proposizione 1.4.3.  $\Delta^*$  è iperbolico completo.

In definitiva  $\Delta^*$  è un esempio per cui:

$$0 \neq C_{\Delta^*} \neq d_{\Delta^*} .$$

ESEMPIO 1.4.8. Per  $a, b$  in  $\mathbb{C}$ ,  $a \neq b$ ,  $\mathbb{C} \setminus \{a, b\}$  è iperbolico completo, (cfr. [4] pag. 61).

**TEOREMA 1.4.1.** Sia  $D$  un dominio limitato di  $E$  spazio di Banach complesso. Se  $D$  è omogeneo (i.e.  $\text{Aut}(D)$  è transitivo) allora  $C_D$  e  $d_D$  sono distanze complete.

Questo risultato dovuto a J.P.Vegu  (cfr. [16] pag. 279) vale anche per domini limitati in spazi vettoriali complessi di Hausdorff, localmente convessi, localmente limitati e completi per successioni (cfr. [14] prop. 2.4.) .

### § 1.5. APPLICAZIONI.

Le distanze di Carath adory e di Kobayashi hanno suggestive applicazioni all'analisi complessa ed all'analisi funzionale. Ne indichiamo alcune, rinviando per maggiori dettagli, nonch  per altre applicazioni, a [13], [14], [4] .

I) TEOREMA DI PICARD. *Ogni applicazione olomorfa  $f : \mathbb{C} \rightarrow \mathbb{C} \setminus \{a, b\}$  con  $a, b \in \mathbb{C}$ ,  $a \neq b$ ,   una applicazione costante.*

Dimostrazione. Sia  $D = \mathbb{C} \setminus \{a, b\}$ , e sia  $f \in \text{Hol}(\mathbb{C}, D)$  .  
Dal lemma 1.4.1 segue che, per  $x, y \in \mathbb{C}$ ,

$d_D(f(x), f(y)) \leq d_{\mathbb{C}}(x, y) = 0$  . Poich   $D$    iperbolico (esempio 1.4.8)

risulta  $f(x) = f(y)$  per ogni  $x, y \in \mathbb{C}$  e quindi  $f$    costante.

Questo   il cosiddetto "piccolo" Teorema di Picard.

GRANDE TEOREMA DI PICARD. Se  $f$    una applicazione olomorfa di  $\{\xi \in \mathbb{C} : 0 < |\xi| < R\} \rightarrow \mathbb{P}^1(\mathbb{C}) - \{3 \text{ punti}\}$ , allora  $f$  pu  essere estesa a una applicazione olomorfa di  $\{\xi \in \mathbb{C} : |\xi| < R\} \rightarrow \mathbb{P}^1(\mathbb{C})$ .

Questo teorema pu  essere dimostrato ancora mediante le distanze di Kobayashi. Si veda in proposito la monografia [4] .

Tale teorema è un caso particolare del seguente problema generale:

Sia  $X$  una varietà complessa e  $Y$  una sottovarietà iperbolica relativamente compatta. Data  $f \in \text{Hol}(\{\xi \in \mathbb{C} : 0 < |\xi| < R\}, Y)$ , è possibile estendere  $f$  in un elemento di  $\text{Hol}(\{\xi \in \mathbb{C} : |\xi| < R\}, X)$ ?

La risposta è affermativa solo in casi particolari. Si veda in proposito la monografia [4] .

## II) AUTOMORFISMI DEL DISCO UNITA' IN CERTI SPAZI DI BANACH.

Sia  $(M, \mathfrak{E}, \mu)$  uno spazio di misura. Cioè  $M$  sia un insieme,  $\mathfrak{E}$  una  $\sigma$ -algebra di sottoinsiemi di  $M$ , e  $\mu$  una misura positiva su  $\mathfrak{E}$ .

Sia  $E = L^1(M, \mathfrak{E}, \mu)$  e  $B$  la palla unitaria aperta

$$B = \{x \in E : \|x\| = \int_M |x| d\mu < 1\} .$$

Se  $M = \{a\}$ ,  $E$  può essere identificato col piano complesso.

Se  $M = \{a, b\}$  con  $\mu(a) = \mu(b) = 1$ , allora  $E$  può essere identificato con  $\mathbb{C}^2$  e la palla  $B = \{(\xi_1, \xi_2) \in \mathbb{C}^2 : |\xi_1| + |\xi_2| < 1\}$  .

TEOREMA 1.5.1. Se  $\dim_{\mathbb{C}} E > 1$ , ogni automorfismo olomorfo d di  $B$  lascia fissa l'origine (e quindi, per il teorema di H. Cartan,  $f$  è la restrizione a  $B$  di una isometria lineare di  $E$  su di  $s\bar{e}$ ).

Il teorema 1.5.1. trovasi in [13] .

Per  $M = \{a, b\}$  e quindi per  $E = \mathbb{C}^2$  il teorema 1.5.1 è stato provato da Kritikos nel 1927.



Il risultato del teorema 1.5.1 è conseguenza di alcune proprietà per le distanze di Kobayashi e di Carathéodory in domini di spazi di Banach complessi. Nella dimostrazione si utilizza la nozione di curva geodetica complessa in B: sia  $g : \Delta \rightarrow B$  una applicazione olomorfa tale che  $g(0) = x_0$ , allora

$$\omega(0, \xi) \geq C_B(x_0, g(\xi)) \quad \text{per ogni } \xi \in \Delta ;$$

se vale l'uguale per ogni  $\xi \in \Delta$ ,  $\gamma = g(\Delta)$  si dice curva geodetica complessa per  $x_0$ .

Per ogni  $x \in B$ ,  $x \neq 0$ , l'immagine di  $\Delta$  per l'applicazione lineare  $\xi \longmapsto \frac{\xi}{\|x\|} x$  è l'unica curva geodetica complessa per 0 contenente  $x$ .

Il teorema 1.5.1 vale anche per  $1 \leq p < 2$  e  $2 < p < \infty$ .

Per  $p = 2$  il teorema non vale in quanto il disco unita aperto di ogni spazio di Hilbert è omogeneo.

#### § 1.6. METRICHE DIFFERENZIALI DI KOBAYASHI E DI CARATHEODORY.

Con le stesse notazioni del §1.4 sia  $D$  un dominio di  $E$ .

Le considerazioni che seguiranno si estendono al caso in cui  $D$  è una varietà complessa.  $E$  è allora lo spazio tangente a  $D$  in  $x$ .

LEMMA 1.6.1. Dato  $x \in D$ ,  $v \in E$ ,  $\xi_0 \in \Delta$ , esistono  $h \in \text{Hol}(\Delta, D)$  e  $\tau \in \mathcal{O}$  tale che  $h(\xi_0) = x$  e  $d h(\xi_0) \tau = v$ .

Dimostrazione. Per ogni intorno aperto  $U$  di  $x$  in  $D$ , esiste una seminorma continua  $p$  su  $E$  tale che  $B_p(x,1) \subset U$ .

Se  $p(v) > 0$ , prendiamo  $k \in \text{Hol}(\mathbb{C}, E)$  definita da

$$k(\xi) = x + \frac{\xi}{p(v)} v.$$

Risulta  $k(\Delta) \subset U$  e quindi  $k|_{\Delta} \in \text{Hol}(\Delta, U)$ . Inoltre  $k(0) = x$ ,  $dk(0)p(v) = p(v)k'(0) = v$ . La funzione  $h$  definita da

$$h(\xi) = k\left(\frac{\xi - \xi_0}{1 - \bar{\xi}_0 \xi}\right)$$

e il vettore  $\tau = p(v)(1 - |\xi_0|^2)$  verificano il lemma, nel caso  $p(v) > 0$ .

Se  $p(v) = 0$ , basta prendere la funzione  $h \in \text{Hol}(\Delta, D)$  definita da

$$h(\xi) = x + \frac{\xi - \xi_0}{1 - \bar{\xi}_0 \xi} v \quad (\xi \in \Delta),$$

con  $\tau = (1 - |\xi_0|^2)$ .

C.V.D.

Dal lemma 1.6.1 segue che ha senso porre

$$\mathcal{K}(x, v) = \inf_{\xi} \langle \tau \rangle_{\xi}, \quad (1.6.1)$$

dove l'estremo inferiore è preso su tutti i  $\tau \in \mathbb{C}$ ,  $\xi \in \Delta$ ,

$h \in \text{Hol}(\Delta, D)$  con  $h(\xi) = x$  e  $dh(\xi) \tau = v$ .

Siccome  $\Delta$  è omogeneo e gli elementi di  $\text{Aut}(\Delta)$  sono isometrie per la metrica di Poincaré, possiamo mantenere  $\xi \in \Delta$  fisso nella (1.6.1). In particolare scegliendo  $\xi = 0$ , abbiamo

$$K(x, v) = \inf\{|\tau| : \tau \in \mathbb{C}, h \in \text{Hol}(\Delta, D), h(0) = x, dh(0) \tau = v\}.$$

La funzione

$$K : D \times E \longrightarrow \mathbb{R}_+$$

si chiama metrica differenziale di Kobayashi in  $D$ .

Sia  $h \in \text{Hol}(\Delta, D)$  una funzione che verifichi il lemma 1.6.1, e sia  $g \in \text{Hol}(D, \Delta)$ . Allora

$$dg(x)v = dg(h(\xi_0)) \cdot (dh(\xi_0)\tau) = d(g \circ h)(\xi_0)\tau.$$

Siccome  $g \circ h \in \text{Hol}(\Delta, \Delta)$ , dalla 2) del lemma di Schwarz-Pick (cfr. § 1.2) segue che

$$\frac{|dg(x)v|}{1 - |g(x)|^2} = \frac{|d(g \circ h)(\xi_0)\tau|}{1 - |g \circ h(\xi_0)|^2} = \frac{|\tau \cdot (g \circ h)'(\xi_0)|}{1 - |g \circ h(\xi_0)|^2} \leq \frac{|\tau|}{1 - |\xi_0|^2},$$

cioè

$$\langle dg(x)v \rangle_{g(x)} \leq \langle \tau \rangle_{\xi_0}$$

per ogni funzione  $h \in \text{Hol}(\Delta, D)$  che verifica il lemma 1.6.1.

Quindi

$$\langle dg(x)v \rangle_{g(x)} \leq \mathbf{K}(x,v) \quad \text{per ogni } g \in \text{Hol}(D,\Delta).$$

Pertanto il numero  $\gamma(x,v) \in \mathbf{R}_+$  definito dalla

$$\gamma(x,v) = \sup\{\langle dg(x)v \rangle_{g(x)} : g \in \text{Hol}(D,\Delta)\}$$

verifica la disuguaglianza

$$\gamma(x,v) \leq \mathbf{K}(x,v) \quad (x \in D, v \in E) \quad (1.6.2)$$

e perciò è finito.

La funzione  $\gamma : D \times E \longrightarrow \mathbf{R}_+$  si chiama

metrica differenziale di Carathéodory in  $D$ .

Per  $a \in \mathbf{C}$ :

$$\mathbf{K}(x,av) = |a|\mathbf{K}(x,v) \quad \text{e} \quad \gamma(x,av) = |a|\gamma(x,v).$$

Inoltre, per  $v_1, v_2 \in E$ :

$$\gamma(x, v_1 + v_2) \leq \gamma(x, v_1) + \gamma(x, v_2),$$

(non si sa se una simile disuguaglianza vale anche per  $\mathbf{K}$ ).

PROPOSIZIONE 1.6.1. *Sia  $D_1$  un dominio di  $E_1$ . Per ogni  $F \in \text{Hol}(D, D_1)$ ,  $x \in D$ ,  $v \in E$ , risulta*

$$\mathbf{K}_{D_1}(F(x), dF(x)v) \leq \mathbf{K}_D(x,v) \quad \text{e} \quad \gamma_{D_1}(F(x), dF(x)v) \leq \gamma_D(x,v).$$

Dimostrazione. Segue banalmente dalle definizioni.

In particolare, se  $F \in \text{Aut}(D)$ , allora

$$K_D(F(x), dF(x)v) = K_D(x, v) \quad \text{e} \quad \gamma_D(F(x), dF(x)v) = \gamma_D(x, v) \quad .$$

ESEMPIO 1.6.1 Sia  $E = \mathbb{C}$ ,  $D = \Delta$ . Presa  $g : \xi \mapsto \xi$ , è

$$\gamma_\Delta(\xi, \tau) \geq \langle dg(\xi)\tau \rangle_{g(\xi)} = \langle \tau \rangle_\xi = \frac{|\tau|}{1-|\xi|^2} \quad .$$

Poiché  $dg(\xi)\tau = \tau$ , è anche

$$K_\Delta(\xi, \tau) \leq \frac{|\tau|}{1-|\xi|^2} \quad .$$

Quindi dalla (1.6.2) abbiamo

$$\gamma_\Delta(\xi, \tau) = K_\Delta(\xi, \tau) = \frac{|\tau|}{1-|\xi|^2}, \quad (\xi \in \Delta, \tau \in \mathbb{C}) \quad (1.6.3) \quad .$$

In generale per  $\Delta_R = \{\xi \in \mathbb{C} : |\xi| < R\}$  abbiamo

$$\gamma_{\Delta_R}(\xi, \tau) = K_{\Delta_R}(\xi, \tau) = \frac{R|\tau|}{R^2 - |\xi|^2}, \quad (\xi \in \Delta_R, \tau \in \mathbb{C}) \quad (1.6.3')$$

LEMMA 1.6.2. Sia  $p$  una seminorma continua su  $E$  e  $B_p = B_p(0, 1) = \{x \in E : p(x) < 1\}$ . Allora

$$\gamma_{B_p}(0, v) = K_{B_p}(0, v) = p(v) \quad \text{per ogni } v \in E.$$

Dimostrazione. Supponiamo dapprima  $p(v) > 0$ . Per il teorema di Hahn-Banach esiste una forma lineare continua  $\lambda$  su  $E$  tale che

$$\lambda(v) = p(v) \quad \text{e} \quad |\lambda(y)| \leq p(y) \quad \text{per ogni } y \in E.$$

Quindi  $\lambda \in \text{Hol}(B_p, \Delta)$ . Sia  $h : \Delta \rightarrow B_p$  definita dalla

$$h(\xi) = \frac{\xi}{p(v)} v, \quad \text{è } h \in \text{Hol}(\Delta, B_p), \quad h(0) = 0, \quad h(p(v)) = v \quad \text{e}$$

$$dh(0)p(v) = v.$$

Dalla 1.6.3 e dalla proposizione 1.6.1 segue :

$$\begin{aligned} p(v) &= \gamma_{\Delta}(0, p(v)) = \gamma_{\Delta}(\lambda(0), \lambda(v)) = \gamma_{\Delta}(\lambda(0), d\lambda(0)v) \leq \gamma_{B_p}(0, v) \leq \\ &\leq \kappa_{B_p}(0, v) = \kappa_{B_p}(h(0), dh(0)p(v)) \leq \kappa_{\Delta}(0, p(v)) = p(v). \end{aligned}$$

$$\text{Quindi } \gamma_{B_p}(0, v) = \kappa_{B_p}(0, v) = p(v).$$

Consideriamo ora il caso in cui  $p(v) = 0$ . Sia  $t > 1$ , e sia  $h_t \in \text{Hol}(\Delta, B_p)$  definita da  $h_t(\xi) = t \xi v$ . Allora

$$\gamma_{B_p}(0, v) \leq \kappa_{B_p}(0, v) = \kappa_{B_p}(h_t(0), dh_t(0) \frac{1}{t}) \leq \kappa_{\Delta}(0, \frac{1}{t}) = \frac{1}{t},$$

ma  $\frac{1}{t} \rightarrow 0$  per  $t \rightarrow +\infty$ , perciò  $\gamma_{B_p}(0, v) = \kappa_{B_p}(0, v) = p(v) = 0$ .

C.V.D.

Per ogni  $R > 0$ , posto  $B_p(0,R) = \{x \in E : p(x) < R\}$  abbiamo

$$\gamma_{B_p(0,R)}(0,v) = \kappa_{B_p(0,R)}(0,v) = \frac{p(v)}{R} \text{ per ogni } v \in E. \quad (1.6.4)$$

ESEMPIO 1.6.2. Per  $(\xi_1, \xi_2) \in D = \Delta \times \Delta$ ,  $(\tau_1, \tau_2) \in \mathbb{C}^2$ , si ha

$$\gamma_{\Delta \times \Delta}((\xi_1, \xi_2), (\tau_1, \tau_2)) = \kappa_{\Delta \times \Delta}((\xi_1, \xi_2), (\tau_1, \tau_2)) = \max(\langle \tau_1 \rangle_{\xi_1}, \langle \tau_2 \rangle_{\xi_2}) .$$

Dimostrazione. Consideriamo il caso in cui  $\xi_1 = \xi_2 = 0$ .

Sia  $p : \mathbb{C} \times \mathbb{C} \longrightarrow \mathbb{R}$  la norma così definita:

$$(\delta_1, \delta_2) \longmapsto \max\{|\delta_1|, |\delta_2|\} .$$

Chiaramente  $D = \Delta \times \Delta = B_p = \{y \in \mathbb{C}^2 : p(y) < 1\}$ , perciò

dal lemma 1.6.2 abbiamo

$$\begin{aligned} \gamma_{\Delta \times \Delta}((0,0), (\tau_1, \tau_2)) &= \kappa_{\Delta \times \Delta}((0,0), (\tau_1, \tau_2)) = p((\tau_1, \tau_2)) = \\ &= \max\{|\tau_1|, |\tau_2|\} = \max\{\langle \tau_1 \rangle_0, \langle \tau_2 \rangle_0\} . \end{aligned}$$

La conclusione, per il caso in cui  $(\xi_1, \xi_2) \neq (0,0)$  segue dal fatto che il gruppo  $\text{Aut}(D)$  opera transitivamente su  $D$  lasciando invarianti  $\gamma_D$  e  $\kappa_D$ .

C.V.D.

LEMMA 1.6.3. Siano  $D$  e  $D_1$  domini rispettivamente di  $E$  ed  $E_1$ . Per  $(x, x_1) \in D \times D_1$  e  $(v, v_1) \in E \times E_1$  risulta

$$K_{D \times D_1}((x, x_1), (v, v_1)) = \max \{K_D(x, v), K_{D_1}(x_1, v_1)\}.$$

Dimostrazione. Siano  $F$  ed  $F_1$  le proiezioni di  $D \times D_1$  rispettivamente su  $D$  e  $D_1$ . Dalla proposizione 1.6.1. segue

$$K_D(x, v) = K_D(F(x, x_1), dF(x, x_1)(v, v_1)) \leq K_{D \times D_1}((x, x_1), (v, v_1))$$

e

$$K_{D_1}(x_1, v_1) = K_{D_1}(F_1(x, x_1), dF_1(x, x_1)(v, v_1)) \leq K_{D \times D_1}((x, x_1), (v, v_1)).$$

Perciò

$$K_{D \times D_1}((x, x_1), (v, v_1)) \geq \max\{K_D(x, v), K_{D_1}(x_1, v_1)\}. \quad (1.6.5)$$

Sia  $h \in \text{Hol}(\Delta, D)$  ( $h_1 \in \text{Hol}(\Delta, D_1)$ ) tale che

$$h(0) = x \quad e \quad dh(0)\tau = v \quad (h_1(0) = x_1 \quad dh_1(0)\tau_1 = v_1)$$

con  $\tau \in \mathbb{C}$  ( $\tau_1 \in \mathbb{C}$ ). Applicando ancora la proposizione 1.6.1 e successivamente l'esempio 1.6.2, abbiamo

$$K_{D \times D_1}((x, x_1), (v, v_1)) \leq K_{\Delta \times \Delta}((0, 0), (\tau, \tau_1)) = \max\{|\tau|, |\tau_1|\}.$$

Passando quindi agli estremi inferiori abbiamo



$$K_{D \times D_1}((x, x_1), (v, v_1)) \leq \max \{K_D(x, v), K_{D_1}(x_1, v_1)\} . \quad (1.6.6)$$

Dalla (1.6.5) e dalla (1.6.6) risulta

$$K_{D \times D_1}(x, x_1), (v, v_1) = \max \{K_D(x, v), K_{D_1}(x_1, v_1)\} . \quad \text{C.V.D.}$$

LEMMA 1.6.4. Per ogni  $\varepsilon > 0$ , esiste un intorno  $V$  di  $(0, 0)$  in  $B_p(0, R) \times E$  tale che

$$K_{B_p(0, R)}(x, v) < \varepsilon$$

per ogni  $(x, v) \in V$ .

Dimostrazione. Consideriamo l'intorno  $V = B_p(0, \frac{R}{2}) \times B_p(0, \frac{R\varepsilon}{4})$ .

Per  $x \in B_p(0, \frac{R}{2})$  e  $v \in B_p(0, \frac{R \cdot \varepsilon}{4})$  la funzione  $f \in \text{Hol}(\Delta, E)$

definita dalla

$$f(\xi) = x + \frac{2\xi}{\varepsilon} v$$

applica  $\Delta$  in  $B_p(0, R)$ . Siccome  $f(0) = x$  e  $df(0) \frac{\varepsilon}{2} = v$ ,

dalla proposizione 1.6.1 abbiamo

$$K_{B_p(0, R)}(x, v) = K_{B_p(0, R)}(f(0), df(0) \frac{\varepsilon}{2}) \leq K_{\Delta}(0, \frac{\varepsilon}{2}) = \frac{\varepsilon}{2} < \varepsilon .$$

C.V.D.

LEMMA 1.6.5. Sia  $D$  un dominio di  $E$ . Per ogni  $x \in D$

$\gamma_D(x, \cdot)$  è una seminorma continua su  $E$ . Se  $D$  è limitato, e se  $p$

è una seminorma continua su  $E$  tale che  $B_p(x, R) \subset D$  per un

$R > 0$  e un  $x \in D$ , allora  $\gamma_D(x, \cdot)$  è una seminorma equivalente

a  $p$ .

Dimostrazione. Per  $x \in D$ , esiste una seminorma continua  $p$  su  $E$  e un  $R > 0$  tale che  $B_p(x, R) \subset D$ . La traslazione che porta  $y$  in  $x+y$ , applica  $B_p(0, R)$  in  $B_p(x, R)$ .

Applicando la proposizione 1.6.1 e la relazione (1.6.4), abbiamo  $\gamma_D(x, v) \leq \gamma_{B_p(x, R)}(x, v) = \gamma_{B_p(0, R)}(0, v) = \frac{p(v)}{R}$

per ogni  $v \in E$ , cioè

$$\gamma_D(x, v) \leq \frac{p(v)}{R} \quad \text{per ogni } v \in E.$$

D'altronde  $\gamma_D(x, av) = |a| \gamma_D(x, v)$  e  $\gamma_D(x, v + v_1) \leq \gamma_D(x, v) + \gamma_{D_1}(x, v_1)$ , perciò  $\gamma_D(x, \cdot)$  è effettivamente una seminorma continua su  $E$ .

Sia ora  $D$  limitato. Allora per ogni seminorma continua  $p$  su  $E$  esiste un  $R' > 0$  tale che  $D \subset B_p(x, R')$  con  $x \in D$ , quindi per la proposizione 1.6.1 risulta

$$\gamma_D(x, v) \geq \gamma_{B_p(x, R')}(x, v) = \frac{p(v)}{R'} \quad \text{per ogni } v \in E.$$

D'altronde se  $p$  è tale che esiste un  $R > 0$  per cui  $B_p(x, R) \subset D$ , allora vale

$$\gamma_D(x, v) \leq \frac{p(v)}{R} \quad \text{per ogni } v \in E.$$

Perciò abbiamo

$$\frac{p(v)}{R'} \leq \gamma_D(x,v) \leq \frac{p(v)}{R} \text{ per ogni } v \in E,$$

cioè  $\gamma_D(x, \cdot)$  è una seminorma equivalente a  $p$ .

C.V.D.

### § 1.7. METRICHE INTERNE

Ricordiamo la nozione di metrica interna, rinviando per maggiori dettagli a W. Rinow [7].

Sia  $X$  uno spazio metrico connesso con una pseudo-distanza  $d$ . Data una curva  $\sigma : [a,b] \rightarrow X$ , la sua lunghezza è per definizione

$$L(\sigma) = \sup \sum_j d(\sigma(t_{j-1}), \sigma(t_j))$$

dove l'estremo superiore è preso rispetto a tutte le suddivisioni di  $[a,b]$ .

La curva  $\sigma$  si dice rettificabile se  $L(\sigma) < \infty$

Lo spazio  $X$  si dice finitamente connesso per archi se ogni coppia di punti può essere congiunto da una curva rettificabile.

Definiamo su  $X$  la pseudo-distanza  $d'$  indotta da  $d$ , mediante la

$$d'(x,y) = \inf L(\sigma)$$

dove l'estremo inferiore è preso rispetto a tutte le curve rettificabili che congiungono  $x$  e  $y$ .

Per la disuguaglianza triangolare è

$$d(x,y) \leq d'(x,y) .$$

Se

$$d(x,y) = d'(x,y) \quad \text{per ogni } x,y \in X,$$

$d$  si dice pseudo-distanza interna.

LEMMA 1.7.1. Sia  $D$  un dominio di  $E$  (oppure una varietà com  
plessa connessa). La funzione  $\gamma_D : D \times E \rightarrow \mathbb{R}_+$  ( $\gamma_D : D \times T(D) \rightarrow \mathbb{R}_+$ )  
è localmente Lipschitziana.

Dimostrazione. Omessa.

LEMMA 1.7.2. Per un  $D$  come nel lemma precedente, la funzione  
 $K_D : D \times E \rightarrow \mathbb{R}_+$  ( $K : D \times T(D) \rightarrow \mathbb{R}_+$ ) è semicontinua superior-  
mente.

Dimostrazione. Omessa.

Per la dimostrazione del lemma 1.7.1 e del lemma 1.7.2 si  
rinvia il lettore a [14] .

Preso  $D$  come nei due lemmi precedenti, sia  $\ell$  una curva dif-  
ferenziabile a tratti in  $D$ , e sia  $\sigma : [a,b] \longrightarrow D$  una rappre-  
sentazione parametrica differenziabile a tratti di  $\ell$  .

Per il lemma 1.7.1 possiamo definire la "lunghezza" di  $\ell$  ri  
spetto a  $\gamma_D$  con

$$L_Y(\ell) = \int_a^b \gamma_D(\sigma(t); \sigma'(t)) dt .$$

Siccome  $\gamma_D(x, \sigma) = |\sigma| \gamma_D(x, v)$ ,  $L_Y(\ell)$  non dipende dalla rap presentazione parametrica differenziabile a tratti  $\sigma$ .

Il dominio  $D$ , essendo connesso e localmente connesso per archi, è connesso per archi. Quindi comunque prendiamo  $x$  e  $y$  in  $D$ , questi si possono congiungere con una curva differenziabile in  $D$ .

Per  $x, y$  e  $D$ , definiamo

$$\tilde{C}_D(x, y) = \inf L_Y(\ell)$$

dove l'estremo inferiore è preso rispetto a tutte le curve differenziabili che congiungono  $x$  e  $y$  in  $D$ . Dalla continuità di  $\gamma_D$  (cfr. lemma 1.7.1) segue che ciò è lo stesso che fare l'estremo inferiore rispetto a tutte le curve differenziabili a tratti che congiungono  $x$  e  $y$ . Quindi  $\tilde{C}_D$  è una pseudo-distanza.

Per  $\xi_1, \xi_2$  e  $\Delta$ , applicando la (1.6.3), abbiamo

$$\tilde{C}_\Delta(\xi_1, \xi_2) = \inf \int_a^b \gamma_\Delta(\sigma(t), \sigma'(t)) dt = \inf \int_a^b \langle \sigma'(t), \sigma(t) \rangle dt = \omega(\xi_1, \xi_2),$$

ossia

$$\tilde{C}_\Delta(\xi_1, \xi_2) = \omega(\xi_1, \xi_2) = C_\Delta(\xi_1, \xi_2) .$$

Quindi per ogni  $f \in \text{Hol}(D, \Delta)$  e per ogni curva differenziabile a

tratti  $\ell$  congiungente  $x$  e  $y$  in  $D$ , dalla proposizione 1.6.1, abbiamo

$$\omega(f(x), f(y)) = \overset{\sim}{C}_{\Delta}(f(x), f(y)) \leq \int_a^b \gamma_{\Delta}(f(\sigma(t)), f'(\sigma(t)) \cdot \sigma'(t)) dt \leq$$

$$\leq \int_a^b \gamma_D(\sigma(t), \sigma'(t)) dt. \text{ Prendendo l'estremo inferiore rispetto a}$$

tutte le curve differenziabili a tratti congiungenti  $x$  e  $y$  in  $D$ , si ha

$$\omega(f(x), f(y)) \leq \overset{\sim}{C}_D(x, y) .$$

Prendendo ora l'estremo superiore rispetto a tutte le  $f \in \text{Hol}(D, \Delta)$  si ha

$$C_D(x, y) \leq \overset{\sim}{C}_D(x, y) .$$

Abbiamo visto che due punti  $x$  e  $y$  in  $D$  si possono congiungere con una curva differenziabile  $\ell$ , espressa da una funzione differenziabile  $\sigma : [a, b] \rightarrow D$ . Per il lemma 1.7.2 possiamo definire la lunghezza di  $\ell$  rispetto a  $K_D$  con

$$L_K(\ell) = \int_a^b K_D(\sigma(t), \sigma'(t)) dt .$$

Siccome  $K_D(x, av) = |a| K_D(x, v)$ ,  $L_K(\ell)$  è indipendente dalla rappresentazione parametrica differenziabile  $\sigma$ .

Per  $x, y \in D$  definiamo

$$\tilde{d}_D(x,y) = \inf L_K(\ell)$$

dove l'estremo inferiore è preso rispetto a tutte le curve differenziabili che congiungono  $x$  e  $y$  in  $D$ . Dal lemma 1.6.4 segue che ciò è lo stesso che fare l'estremo inferiore rispetto a tutte le curve differenziabili a tratti congiungenti  $x$  e  $y$  in  $D$ . Quindi  $\tilde{d}_D(x,y)$  è una pseudo-distanza.

Si dimostra (cfr. Teorema 7.4 di [14]) che

$$\tilde{d}_D(x,y) = d_D(x,y) \quad \text{per ogni } x,y \text{ e } D,$$

cioè la pseudo-distanza di Kobayashi è la forma integrata di  $\mathbf{K}_D$ .

Tale risultato mostra che  $d_D$  è una distanza interna se  $D$  è iperbolico.

## C A P I T O L O   I I

### DISTANZE INVARIANTI NEI CONI CONVESSI.

#### § 2.1. DISTANZE "TIPO-KOBAYASHI" E "TIPO-CARATHEODORY" .

Le estensioni delle distanze di Carathéodory e di Kobayashi, possono essere "schematizzate" come segue:

Per definire distanze "tipo-kobayashi" o "tipo-carathéodory" su un insieme  $\Omega$ , è necessario disporre anzitutto di:

i) Uno spazio metrico  $\Delta$  con distanza  $d_\Delta$ , per il quale sia assegnato un semigruppoo  $S_\Delta$  di applicazioni:  $\Delta \rightarrow \Delta$  (per l'operazione di composizione di funzioni) dotato di identità, e per il quale valga un "lemma di Schwarz":

Per ogni  $f \in S_\Delta$ , risulta  $d_\Delta(f(t_1), f(t_2)) \leq d_\Delta(t_1, t_2)$

per ogni  $t_1, t_2 \in \Delta$ .

Sono dati inoltre:

ii) Una famiglia  $A$  di applicazioni  $f : \Delta \rightarrow \Omega$  con le quali si possono realizzare "catene analitiche" cioè:

dati  $x, y \in \Omega$ , esistono  $v \in \mathbb{N}$ ,  $t'_1, t''_1 \dots t'_v, t''_v \in \Delta$ ,  $f_1 \dots f_v \in A$

con  $f_1(t'_1) = x$ ,  $f_j(t''_j) = f_{j+1}(t'_{j+1})$  ( $j = 1, \dots, v-1$ ),  $f_v(t''_v) = y$ .

La famiglia  $A$  deve essere invariante per composizione a sinistra con gli elementi di  $S_\Delta$ .

iii) Una famiglia  $B$  di applicazioni  $h : \Omega \rightarrow \Delta$ , invarianti per composizione a destra con gli elementi di  $S_\Delta$ .



iv) Un semigruppò  $S_{\Omega}$  con identità di applicazioni

$g : \Omega \rightarrow \Omega$  tale che per ogni  $g \in S_{\Omega}$ ,  $h \in B$ ,  $f \in A$ :  $h \circ g \circ f \in S_{\Delta}$ .

In queste ipotesi si definiscono una pseudo-distanza "tipo Kobayashi"  $d_{\Omega}$  e una pseudo-distanza "tipo Carathéodory"  $C_{\Omega}$  in  $\Omega$ , le quali verificano le proprietà:

I)  $C_{\Omega}(x,y) \leq d_{\Omega}(x,y)$  per ogni  $x,y \in \Omega$ , per ogni  $g \in S_{\Omega}$ .

II)  $d_{\Omega}(g(x),g(y)) \leq d_{\Omega}(x,y)$  per ogni  $x,y \in \Omega$  e per ogni  $g \in S_{\Omega}$ ,

$C_{\Omega}(g(x),g(y)) \leq C_{\Omega}(x,y)$  per ogni  $x,y \in \Omega$  e per ogni  $g \in S_{\Omega}$ .

III)  $d_{\Omega}(f(t_1),f(t_2)) \leq d_{\Delta}(t_1,t_2)$  per ogni  $f \in A$  e per ogni  $t_1,t_2 \in \Delta$ ,

$C_{\Delta}(h(x),h(y)) \leq C_{\Omega}(x,y)$  per ogni  $h \in B$  e per ogni  $x,y \in \Omega$ .

IV) Se  $\Omega = \Delta$   $C_{\Omega}$  e  $d_{\Omega}$  coincidono con  $d_{\Delta}$ .

Discuteremo un esempio, costruendo delle metriche invarianti in coni convessi  $\Omega$ .

Sia  $\Delta = \mathbb{R}_+^*$  il gruppo moltiplicativo dei numeri reali positivi, con la misura di Haar  $t^{-1} dt$ .

Per ogni  $t_1, t_2 \in \mathbb{R}_+^*$  definiamo distanza  $\sigma(t_1, t_2)$  la misura dell'intervallo determinato da  $t_1$  e  $t_2$ , cioè

$$\sigma(t_1, t_2) = \left| \int_{t_1}^{t_2} \frac{dt}{t} \right| = \left| \log \frac{t_2}{t_1} \right|. \quad (2.1.1)$$

LEMMA 2.1.1. ("Lemma di Schwarz"). Per ogni applicazione affine

$f : \mathbb{R} \rightarrow \mathbb{R}$  tale che  $f(\mathbb{R}_+^*) \subset \mathbb{R}_+^*$  e per ogni  $t_1, t_2 \in \mathbb{R}_+^*$ , si ha:

$$\sigma(f(t_1), f(t_2)) \leq \sigma(t_1, t_2) .$$

Se  $f$  è una traslazione del gruppo moltiplicativo  $\mathbb{R}_+^*$  vale il segno di uguaglianza identicamente. Se vale il segno di uguaglianza per una coppia  $t_1, t_2$  di punti distinti,  $f$  è una traslazione.

Dimostrazione. Una funzione affine  $f : \mathbb{R} \rightarrow \mathbb{R}$  che applica  $\mathbb{R}_+^*$  in  $\mathbb{R}_+^*$  è del tipo  $f(t) = \alpha t + \beta$  con  $\alpha \geq 0, \beta \geq 0, \alpha + \beta > 0$ .

Supponiamo  $t_2 > t_1$ , allora

$$\frac{t_2}{t_1} - \frac{f(t_2)}{f(t_1)} = \frac{\beta(t_2 - t_1)}{t_1(\alpha t_1 + \beta)} \geq 0 .$$

Poiché  $\log$  è una funzione crescente segue che  $\sigma(f(t_2), f(t_1)) \leq \sigma(t_2, t_1)$ . Se  $f$  è una traslazione nel gruppo  $\mathbb{R}_+^*$ , allora  $\beta=0$  e quindi  $\sigma(f(t_2), f(t_1)) = \sigma(t_2, t_1)$ .

Viceversa se vale l'uguaglianza per due punti  $t_1, t_2, t_1 \neq t_2$ , è  $\beta = 0$  e quindi  $f$  è una traslazione.

C.V.D.

Sia  $E$  uno spazio vettoriale reale localmente convesso di Hausdorff, e  $\Omega$  un cono (i.e. se  $x \in \Omega$  allora  $tx \in \Omega$  per ogni  $t > 0$ ) convesso aperto di  $E, \Omega \neq \{0\}$ .

Sia  $A = \{f \in \text{Aff}(\mathbb{R}, E) : f(\mathbb{R}_+^*) \subset \Omega\}$ , cioè

$$A = \{f : f(t) = tv + w \quad \text{con } v, w \in E \text{ tale che}$$

$$f(t) \in \Omega \quad \text{per } t > 0\}.$$

Vale la condizione ii), cioè due qualunque punti  $x, y$  in  $\Omega$  possono congiungersi con una "catena affine".

Usando le stesse notazioni di ii), definiamo una pseudo-distanza "tipo-kobayashi" con

$$d_{\Omega}(x, y) = \inf\{\sigma(t'_1, t''_1) + \dots + \sigma(t'_v, t''_v)\} \quad \text{per ogni } x, y \in \Omega$$

dove l'estremo inferiore è preso su tutte le possibili scelte

di  $v, t'_1, t''_1, \dots, t'_v, t''_v, f_1, \dots, f_v$ .

Sia  $B = \{h \in \text{Aff}(E, \mathbb{R}) : h \text{ continua, } h(\Omega) \subset \mathbb{R}_+^*\}$ .

Definiamo una pseudo-distanza "tipo-Carathéodory" con

$$C_{\Omega}(x, y) = \sup\{\sigma(h(x), h(y)) : h \in B\} \quad \text{per ogni } x, y \in \Omega.$$

Naturalmente  $C_{\Omega}$  è una pseudo-distanza se  $C_{\Omega}(x, y) < \infty$  per ogni  $x, y, \in \Omega$ .

OSSERVAZIONE 1. Il cono convesso  $\Omega$ , essendo aperto, verifica la seguente condizione:

Se  $x \in \Omega$ , e se  $r$  è una retta affine di  $E$  tale che  $x \in r$  e  $r \cap \Omega$  contenga una semiretta, allora c'è una semiretta  $r_x$  contenuta in  $r \cap \Omega$  e contenente  $x$  nel suo interno.

PROPOSIZIONE 2.1.1. *Risulta*  $d_{R_+^*} = \sigma$

Dimostrazione. Preso  $\Omega = R_+^*$ , utilizzando le notazioni della definizione di  $d_\Omega$ , dal lemma 2.1.1 e dalla disuguaglianza triangolare segue:

$$\sum_{j=1}^v \sigma(t_j', t_j'') \geq \sum_{j=1}^v \sigma(f_j(t_j'), f_j(t_j'')) \geq \sigma(f_1(t_1'), f_v(t_v'')) = \sigma(x, y) .$$

Quindi  $d_{R_+^*}(x, y) \geq \sigma(x, y)$  per ogni  $x, y \in R_+^*$ .

D'altro canto scegliendo nella definizione di  $d_\Omega(x, y)$ ,

$v = 1$ ,  $t_1' = x$ ,  $t_1'' = y$ ,  $f_1(t) = t$ , abbiamo

$$d_{R_+^*}(x, y) \leq \sigma(x, y) \quad \text{per ogni } x, y \in R_+^* .$$

C.V.D.

LEMMA 2.1.2.  $C_\Omega$  è una pseudo-distanza e inoltre

$$C_\Omega(x, y) \leq d_\Omega(x, y) \quad \text{per ogni } x, y \in \Omega .$$

Dimostrazione. Utilizzando le stesse notazioni delle definizioni di  $d_\Omega$  e  $C_\Omega$ , per ogni  $h \in B$ ,  $h \circ f_j$  è una funzione affine di  $R$  in  $R$  che applica  $R_+^*$  in  $R_+^*$ . Quindi dal lemma 2.1.1. segue :  $\sigma(h \circ f_j(t_j'), h \circ f_j(t_j'')) \leq \sigma(t_j', t_j'')$  per  $j = 1 \dots v$ .

D'altronde dalla disuguaglianza triangolare segue:

$$\begin{aligned} \sum_{j=1}^{\nu} \sigma(t'_j, t''_j) &\geq \sum_{j=1}^{\nu} \sigma(h \circ f_j(t'_j), h \circ f_j(t''_j)) \geq \sigma(h \circ f_1(t'_1), h \circ f_{\nu}(t''_{\nu})) = \\ &= \sigma(h(x), h(y)), \text{ pertanto } d_{\Omega}(x, y) \geq \sigma(h(x), h(y)) . \end{aligned}$$

Prendendo l'estremo superiore rispetto a tutte le  $h \in B$ ,  
abbiamo

$$d_{\Omega}(x, y) \geq C_{\Omega}(x, y) \quad \text{per ogni } x, y \text{ e } \Omega. \quad \text{C.V.D.}$$

PROPOSIZIONE 2.1.2. *Risulta*

$$C_{\mathbb{R}_+^*}^* = \sigma = d_{\mathbb{R}_+^*}^* .$$

Dimostrazione. Preso  $\Omega = \mathbb{R}_+^*$ , l'applicazione identica di  $\mathbb{R}$   
in  $\mathbb{R}$  è un elemento di  $B$ . Quindi dalla definizione di  $C_{\Omega}$  se-  
gue che

$$C_{\mathbb{R}_+^*}^*(x, y) \geq \sigma(x, y) \quad \text{per ogni } x, y \text{ e } \mathbb{R}_+^* .$$

D'altro canto, dalla proposizione 2.1.1 e dal lemma 2.1.2, abbia-  
mo

$$C_{\mathbb{R}_+^*}^*(x, y) \leq d_{\mathbb{R}_+^*}^*(x, y) = \sigma(x, y) \quad \text{per ogni } x, y \text{ e } \mathbb{R}_+^* .$$

Pertanto  $C_{\mathbb{R}_+^*}^*(x, y) = d_{\mathbb{R}_+^*}^*(x, y) = \sigma(x, y)$  per ogni  $x, y \in \mathbb{R}_+^*$   
C.V.D.

PROPOSIZIONE 2.1.3. Sia  $\Omega_j$  un cono convesso aperto in  $E_j$   
(spazio vettoriale reale localmente convesso di Hausdorff) con  
 $j = 1, 2$ , se  $F$  è una applicazione affine continua di  $E_1 \rightarrow E_2$   
con  $F(\Omega_1) \subset \Omega_2$ , allora risulta

$$d_{\Omega_1}(x,y) \geq d_{\Omega_2}(F(x),F(y))$$

per ogni  $x,y \in \Omega$ .

$$C_{\Omega_1}(x,y) \geq C_{\Omega_2}(F(x),F(y))$$

In particolare gli automorfismi affini continui di  $\Omega$  sono isometrie per  $d_{\Omega}$  e  $C_{\Omega}$ .

Dimostrazione. Segue banalmente dalle definizioni di  $d_{\Omega}$  e  $C_{\Omega}$  (stesso discorso fatto per i lemmi 1.4.1 e 1.4.3).

OSSERVAZIONE 2. Osserviamo che il lemma 2.1.2 è la proprietà I), la proposizione 2.1.2 è la proprietà IV), la proposizione 2.1.3 è la proprietà II). Per la proprietà III):

$$d_{\Omega}(f(t_1), f(t_2)) \leq \sigma(t_1, t_2) \quad \text{per ogni } f \in A \text{ e per ogni } t_1, t_2, \in \mathbb{R}_+^*$$

segue dalla definizione di  $d_{\Omega}$ ;

$$\sigma(h(x), h(y)) \leq C_{\Omega}(x, y) \quad \text{per ogni } h \in B \text{ e per ogni } x, y \in \Omega,$$

segue dalla definizione di  $C_{\Omega}$ .

ESEMPIO 2.1.1. Se  $\Omega = \mathbb{R} = E$ , abbiamo

$$d_{\mathbb{R}}(x,y) = 0 \quad \text{e quindi } C_{\mathbb{R}}(x,y) = 0 \quad \text{per ogni } x,y \in \mathbb{R}.$$

Dimostrazione. Siano  $x,y \in \mathbb{R}$ . Per ogni  $t_1, t_2 \in \mathbb{R}_+^*$ , con  $t_1 \neq t_2$ ,

esiste una funzione affine  $f : \mathbb{R} \rightarrow \mathbb{R}$  tale che  $f(t_1) = x$  e

$f(t_2) = y$ .

Pertanto  $d_{\mathbb{R}}(x,y) = d_{\mathbb{R}}(f(t_1), f(t_2)) \leq \sigma(t_1, t_2) = \left| \log \frac{t_2}{t_1} \right|$  ,

ma  $\left| \log \frac{t_2}{t_1} \right|$  tende a zero quando  $t_2$  tende a  $t_1$  , quindi  $d_{\mathbb{R}}(x,y) = 0$  per ogni  $x,y \in \mathbb{R}$ .

C.V.D.

ESEMPIO 2.1.2. (cfr. [15])

Sia  $E = \mathbb{R} \times \mathbb{R}$  e  $\Omega = \mathbb{R}_+^* \times \mathbb{R}_+^*$  . Per ogni  $x = (x_1, x_2)$  e  $y = (y_1, y_2)$  in  $\Omega$  ,  $x \neq y$  , abbiamo :

$$C_{\Omega}(x,y) = \max\{\sigma(x_1, y_1), \sigma(x_2, y_2)\} ,$$

$d_{\Omega}(x,y) = \max\{\sigma(x_1, y_1), \sigma(x_2, y_2)\}$  se la retta individuata da  $x$  e  $y$  incontra  $\Omega$  in una semiretta,

$d_{\Omega}(x,y) = \sigma(x_1, y_1) + \sigma(x_2, y_2)$  se la retta individuata da  $x$  e  $y$  incontra  $\Omega$  in un segmento finito.

ESEMPIO 2.1.3. Se  $\Omega = E = \mathbb{R} \times \mathbb{R}$ , risulta  $d_{\mathbb{R}^2}(x,y) = 0$  e quindi  $C_{\mathbb{R}^2}(x,y) = 0$  per ogni  $(x,y) \in \mathbb{R} \times \mathbb{R}$ .

Dimostrazione. Siano  $x = (x_1, x_2)$  e  $y = (y_1, y_2)$  in  $\mathbb{R} \times \mathbb{R}$ . Siano  $F_1$  e  $F_2$  applicazioni lineari continue di  $\mathbb{R} \rightarrow \mathbb{R} \times \mathbb{R}$  definite dalle

$$F_1: z \rightarrow (z, x_2) \quad \text{e} \quad F_2: z \rightarrow (y_1, z) .$$

Applicando la disuguaglianza triangolare, la proposizione 2.1.3 e l'esempio 2.1.1, abbiamo

$$\begin{aligned} d_{\mathbb{R}^2}((x_1, x_2), (y_1, y_2)) &\leq d_{\mathbb{R}^2}((x_1, x_2), (y_1, x_2)) + d_{\mathbb{R}^2}((y_1, x_2), (y_1, y_2)) = \\ &= d_{\mathbb{R}^2}(F_1(x_1), F_1(y_1)) + d_{\mathbb{R}^2}(F_2(x_2), F_2(y_2)) \leq d_{\mathbb{R}}(x_1, y_1) \\ &+ d_{\mathbb{R}}(x_2, y_2) = 0 + 0 = 0 . \end{aligned}$$

Quindi  $d_{\mathbb{R}^2}(x, y) = 0$  per ogni  $(x, y) \in \mathbb{R} \times \mathbb{R}$  .

C.V.D.

Più in generale, per ogni spazio localmente convesso e di Hausdorff  $E$ , abbiamo (cfr. [15])

$$C_E = d_E = 0 .$$

## § 2.2. APPLICAZIONI.

DEFINIZIONE 2.2.1. Il cono  $\Omega$  dicesi regolare se la sua chiusura  $\bar{\Omega}$  non contiene rette.

Valgono inoltre i risultati seguenti.

PROPOSIZIONE 2.2.1. (cfr. [15])

*Se il cono convesso aperto  $\Omega$  è regolare allora  $C_\Omega$  e  $d_\Omega$  sono distanze. Viceversa se  $C_\Omega$  (o  $d_\Omega$ ) è una distanza, allora  $\Omega$  è regolare.*

PROPOSIZIONE 2.2.2. (cfr. [3]) .

*La topologia relativa di  $\Omega$  in  $E$  è equivalente alla topologia definita da  $C_\Omega$  o  $d_\Omega$ , se, e soltanto se, tutte le sezioni piane di*



$\Omega$  hanno aperture uniformemente limitate cioè se, per ogni  $x \in \Omega$  ed ogni seminorma continua  $p$  su  $\Omega$  esiste una costante  $k > 0$  tale che  $\{y \in E : p(x-y) = k\} \not\subset \Omega$ .

### IL CONO DEGLI ELEMENTI HERMITIANI POSITIVI.

Sia  $A$  un'algebra di Banach complessa con elemento identico  $e$ , cioè  $A$  è un'algebra complessa in cui è definita una norma  $\| \cdot \|$  rispetto alla quale  $A$  è di Banach ed inoltre è verificata la proprietà  $\|x \cdot y\| \leq \|x\| \cdot \|y\|$  per ogni  $x, y \in A$ .

Ricordiamo che per ogni  $x \in A$  lo spettro di  $x$ ,  $\text{Sp}x$ , è l'insieme  $\{\lambda \in \mathbb{C} : x - \lambda e \text{ non è invertibile}\}$ .

Supponiamo ancora che in  $A$  sia definita una involuzione continua  $*$  rispetto alla quale  $A$  sia simmetrica, cioè sia definita una applicazione  $*$  :  $x \longmapsto x^*$  continua di  $A$  in  $A$  tale che:

$$(a) \quad (x^*)^* = x, \quad (x+y)^* = x^* + y^*, \quad (\lambda x)^* = \bar{\lambda} x^*,$$

$$(xy)^* = y^* x^*, \quad \text{per ogni } x, y \in A \text{ e } \lambda \in \mathbb{C};$$

(b) ogni elemento della forma  $e + x^* x$  è invertibile.

Siccome  $A$  ammette l'elemento identico, allora  $x$  è invertibile se, e solo se,  $x^*$  invertibile e  $(x^{-1})^* = (x^*)^{-1}$ .

Poiché  $(x - \lambda e)^* = x^* - \bar{\lambda} e$  per ogni  $\lambda \in \mathbb{C}$ , si deduce che  $\text{Sp}x^* = \overline{\text{Sp}x}$

Questo fatto implica che l'involuzione  $*$  è hermitiana, cioè ogni elemento hermitiano di  $A$  (he  $A$ ,  $h$  hermitiano  $\stackrel{\text{def}}{=} h^* = h$ ) ha uno spettro reale.

Sia  $E = H_A$  il sottospazio reale di tutti gli elementi hermitiani di  $A$ .  $H_A$  è un sottospazio chiuso di  $A$  in quanto l'involuzione  $*$  è continua.

Un elemento  $h \in H_A$  è detto positivo, " $h \geq 0$ " se  $\text{Sph } h \subset \mathbb{R}_+$ .

Sia  $\Omega_0$  il cono degli elementi hermitiani positivi di  $H_A$ . Essendo  $A$  simmetrica se  $h \geq 0, k \geq 0$  allora (cfr. [6] lemma 4.7.10 pag. 234)  $h + k \geq 0$ . Quindi il cono  $\Omega_0$  è convesso.

Sia  $\Omega$  la parte interna di  $\Omega_0$  per la topologia in  $H_A$ .

Facciamo vedere che  $\Omega$  è il cono convesso aperto degli elementi hermitiani strettamente positivi. Intanto se  $h \in \Omega_0$  con  $0 \in \text{Sph } h$  allora  $h \notin \Omega$ ; infatti siccome  $y_n = h - \frac{1}{n} e \in \Omega_0$  per ogni intero  $n > 0$ , segue che non esiste un intorno di  $h = \lim y_n$  contenuto in  $\Omega_0$ . Sia ora  $h \in \Omega_0$  con  $0 \notin \text{Sph } h$ , siccome l'applicazione  $x \mapsto \text{Sp } x$  (cfr. [6] pag. 35-36) è semi-continua superiormente, allora esiste un intorno  $I(h)$  di  $h$  in  $H_A$  tale che per ogni  $k \in I(h)$  :  $\text{Sp } k > 0$ , cioè  $h$  è interno a  $\Omega_0$ .

Quindi  $\Omega = \{h \in H_A : \text{Sph } h \subset \mathbb{R}_+^*\}$ .

Dato  $x \in \Omega$ , sia  $x^{\frac{1}{2}}$  la sua radice quadrata positiva.

Lo  $\text{Sp } x^{\frac{1}{2}}$  è l'immagine di  $\text{Sp } x$  per l'applicazione  $t \mapsto \sqrt{t}$ .

Quindi  $x^{\frac{1}{2}} \in \Omega$ , e  $x^{\frac{1}{2}}$  è invertibile.

Indichiamo l'inverso di  $x^{\frac{1}{2}}$  con  $x^{-\frac{1}{2}}$  :  $x^{-\frac{1}{2}} = (x^{\frac{1}{2}})^{-1}$  .

L'automorfismo lineare  $T_x : z \mapsto x^{-\frac{1}{2}} z x^{-\frac{1}{2}}$  ( $x \in \Omega$ ) di  $A$  in  $A$ , applica  $H_A$  in sé. Per  $y \in \Omega$ , essendo  $T_x(y) = x^{-\frac{1}{2}} y^{\frac{1}{2}} y^{\frac{1}{2}} x^{-\frac{1}{2}} = (y^{\frac{1}{2}} x^{-\frac{1}{2}})^* (y^{\frac{1}{2}} x^{-\frac{1}{2}})$  segue (cfr. 6 pag. 233) che  $T_x(y) \geq 0$  .

Inoltre essendo  $y$  invertibile, anche  $T_x(y)$  è invertibile, per cui  $T_x(y) \in \Omega$ . Quindi  $T_x$  applica  $\Omega$  in sé, ed essendo  $T_x(e) = e$  possiamo affermare che il gruppo  $\{T_x : x \in \Omega\}$  opera transitivamente su  $\Omega$ . Perciò  $\Omega$  è omogeneo-affine.

Si dimostra che la distanza "tipo Carathéodory"  $C_\Omega$  è data dalla

$$C_\Omega(x,y) = \max\{\log \rho(x^{-1}y) , \log(xy^{-1})\} \quad (x,y \in \Omega) , \quad (2.2.1)$$

dove  $\rho$  è il raggio spettrale in  $A$ . La dimostrazione richiede considerazioni delicate sugli stati di  $A$ . Per essa rinviamo a [15].

**TEOREMA 2.2.1** *Il cono  $\Omega = \{h \in H_A : \text{Sph} \subset \mathbb{R}_+^*\}$  è regolare se e solo se  $A$  non contiene elementi hermitiani quasi-nilpotenti diversi da quello banale.*

*Dimostrazione.* Dalla (2.2.1) si vede che  $C_\Omega$  è invariante rispetto all'applicazione  $x \mapsto x^{-1}$  di  $\Omega$  su di sé. D'altronde sempre dalla (2.2.1)

$C_\Omega(e,h) = 0$  se, e solo se,  $\text{Sph} = \{1\}$ . Ma se  $\text{Sph} = \{1\}$ , allora  $h = \exp x$  con  $x$  elemento hermitiano, quasi-nilpotente (i.e.  $\rho(x) = 0$ ). Pertanto il teorema 2.2.1 segue dalla proposizione 2.2.1.

C.V.D.

Supponiamo ora che A sia un'algebra  $C^*$  con identità. L'algebra A non contiene elementi hermitiani quasi-nilpotenti diversi da quello banale, pertanto dal teorema 2.2.1 segue che  $\Omega$  è regolare. Inoltre per ogni elemento hermitiano  $h$  :  $\rho(h) = ||h||$ .

Per  $x, y \in \Omega$ ,  $x^{-\frac{1}{2}} y x^{-\frac{1}{2}}$  e  $y^{-\frac{1}{2}} x y^{-\frac{1}{2}}$  sono hermitiani, perciò

$$||x^{-\frac{1}{2}} y x^{-\frac{1}{2}}|| = \rho(x^{-\frac{1}{2}} y x^{-\frac{1}{2}}) = \rho(x^{-1} y)$$

$$||y^{-\frac{1}{2}} x y^{-\frac{1}{2}}|| = \rho(y^{-\frac{1}{2}} x y^{-\frac{1}{2}}) = \rho(y^{-1} x) ,$$

e dalla (2.2.1)

$$C_{\Omega}(x, y) = \max\{\log ||x^{-\frac{1}{2}} y x^{-\frac{1}{2}}||, \log ||y^{-\frac{1}{2}} x y^{-\frac{1}{2}}||\} \quad (2.2.2)$$

Ne segue (cfr. [15] pag.686-687) che la  $|| \cdot ||$ -topologia e la  $C_{\Omega}$ -topologia coincidono in  $\Omega$ . In definitiva vale la

*PROPOSIZIONE 2.2.3. Se A è una algebra  $C^*$  con identità, allora  $C_{\Omega}$  è definita dalla (2.2.2),  $\Omega$  è regolare, e la topologia definita da  $C_{\Omega}$  è equivalente alla topologia relativa. Quindi  $\Omega$  ha sezioni piane di apertura uniformemente limitate.*

Sia  $\epsilon$  uno spazio di Hilbert complesso,  $\mathfrak{L}(\epsilon)$  l'algebra degli operatori lineari continui di  $\epsilon$  in sé.

L'algebra  $\mathfrak{L}(\epsilon)$  è un'algebra  $C^*$ . Anzi, ogni algebra  $C^*$  è isomorfa ad una sottoalgebra autoaggiunta di  $\mathfrak{L}(\epsilon)$  chiusa per la topologia definita dalla norma.

Una sottoalgebra autoaggiunta di  $\mathfrak{L}(\epsilon)$ , contenente l'elemento identico e chiusa per la topologia debole degli operatori, è un'algebra di Von

Neumann.

Una definizione equivalente di algebra di Von Neumann è la seguente. Sia  $A$  un'algebra  $C^*$ . Se lo spazio di Banach  $A$  è duale di uno spazio di Banach,  $A$  è un'algebra di Von Neumann.

Sia quindi  $A$  un'algebra di Von Neumann di operatori lineari limitati di  $\varepsilon$  in sé. Indichiamo con  $(,)$  il prodotto scalare di  $\varepsilon$ .

Per ogni  $h \in H_A$  è (cfr. [15]) :

$$\begin{aligned} \rho(h) &= \|h\| = \|h^{\frac{1}{2}}\|^2 = \text{Sup}\{\|h^{\frac{1}{2}} \xi\|^2 : \xi \in \varepsilon, (\xi, \xi) = 1\} \\ &= \text{Sup}\{(h\xi, \xi) : \xi \in \varepsilon, (\xi, \xi) = 1\} \end{aligned}$$

$$C_{\Omega}(e, h) = \text{Sup}\{(\log(h\xi, \xi)) : \xi \in \varepsilon, (\xi, \xi) = 1\}$$

$$C_{\Omega}(x, y) = \text{Sup}\{\sigma((x\xi, \xi), (y\xi, \xi)) : \xi \in \varepsilon, (\xi, \xi) = 1\} \quad (2.2.3)$$

Utilizzando queste formule si provano i teoremi:

**Teorema 2.2.2** (cfr. [15])

Se  $A$  è un'algebra di Von-Neumann la metrica  $C_{\Omega}$ , definita dalla (2.2.3), è completa su  $\Omega$ .

**Teorema 2.2.3** (cfr. [15])

Sia  $A$  un'algebra di Von-Neumann. Siano  $V_1$  e  $V_2$  due sottoinsiemi limitati di  $\Omega$ . L'insieme delle applicazioni lineari limitate  $T$  di  $H_A$  in sé tale che  $T(\Omega) \subset \Omega$  e  $T(V_1) \cap V_2 \neq \emptyset$ , è uniformemente limitato in norma.

B I B L I O G R A F I A

- [1] T.J.BARTH, *The Kobayashi distance induces the standard topology*, Proc. Amer. Math. Soc. 35 (1972) pp. 439-441.
- [2] L. BIANCHI, *Lezioni di Geometria differenziale*, Vol. I, Parte II, Zanichelli, Bologna, 1927; Cap. XIV, pp. 607-653
- [3] T. FRANZONI, *Some properties of invariant distances on convex cones*, Proc. of the Conference on complex analysis, Cortona, 1977 (in corso di stampa).
- [4] S. KOBAYASHI, *Hyperbolic manifolds and holomorphic mappings*, Dekker, New York, 1970
- [5] S. KOBAYASHI, *Intrinsic distances, measures and geometric function theory*, Bull. Amer. Math. Soc. 82 (1975), pp. 357-416.
- [6] C.E.RICKART, *General theory of Banach algebras*, New York, Van Nostrand, 1960
- [7] W. RINOW, *Die innere Geometrie der metrischen Räume*, Springer-Verlag, Berlin, 1961
- [8] H. L. ROYDEN, *Remarks on the Kobayashi metric*, Several complex variables, II (Proc. Internat. Conf. University of Maryland, College Park, Md. 1970) Lecture Notes in Math., Vol. 185, Springer-Verlag, Berlin, 1971, pp. 125-137.
- [9] W. RUDIN, *Real and complex analysis*, Mc Graw Hill series in higher mathematics.

- [10] S. SAKAI, *C\*-algebras and W\*-algebras*, Heidelberg, Springer-Verlag, 1971.
- [11] G. SANSONE, *Lezioni sulla teoria delle funzioni di una variabile complessa*, Vol.II, CEDAM, Padova;(1947;Cap.X § 1 pp.256-299.
- [12] I.M.SINGER-J.A.THORPE, *Lecture notes on elementary topology and geometry*. Scott. Foresman and Company, Dallas, Glenview 1967.
- [13] E. VESENTINI, *Variations on a theme of Carathéodory*, Ann. Scuola Norm. Sup. Pisa (in corso di stampa).
- [14] E. VESENTINI, *Invariant distances and invariant differential metrics in locally convex spaces*, Proc. of Banach Center-Varsavia (in corso di stampa).
- [15] E. VESENTINI, *Invariant metrics on convex cones*, Annali Scuola Norm. Sup. Pisa, serie IV - vol.III, n.4 (1976) pp.671-696.
- [16] J.P. VIGUE, *Le groupe des automorphismes analytiques d'un domaine borné d'un espaces de Banach complexe . Application aux domaines bornés symétriques*. Ann.Sci.Ec.Norm. Sup.,( 4) 9 (1976),pp. 203-282.